

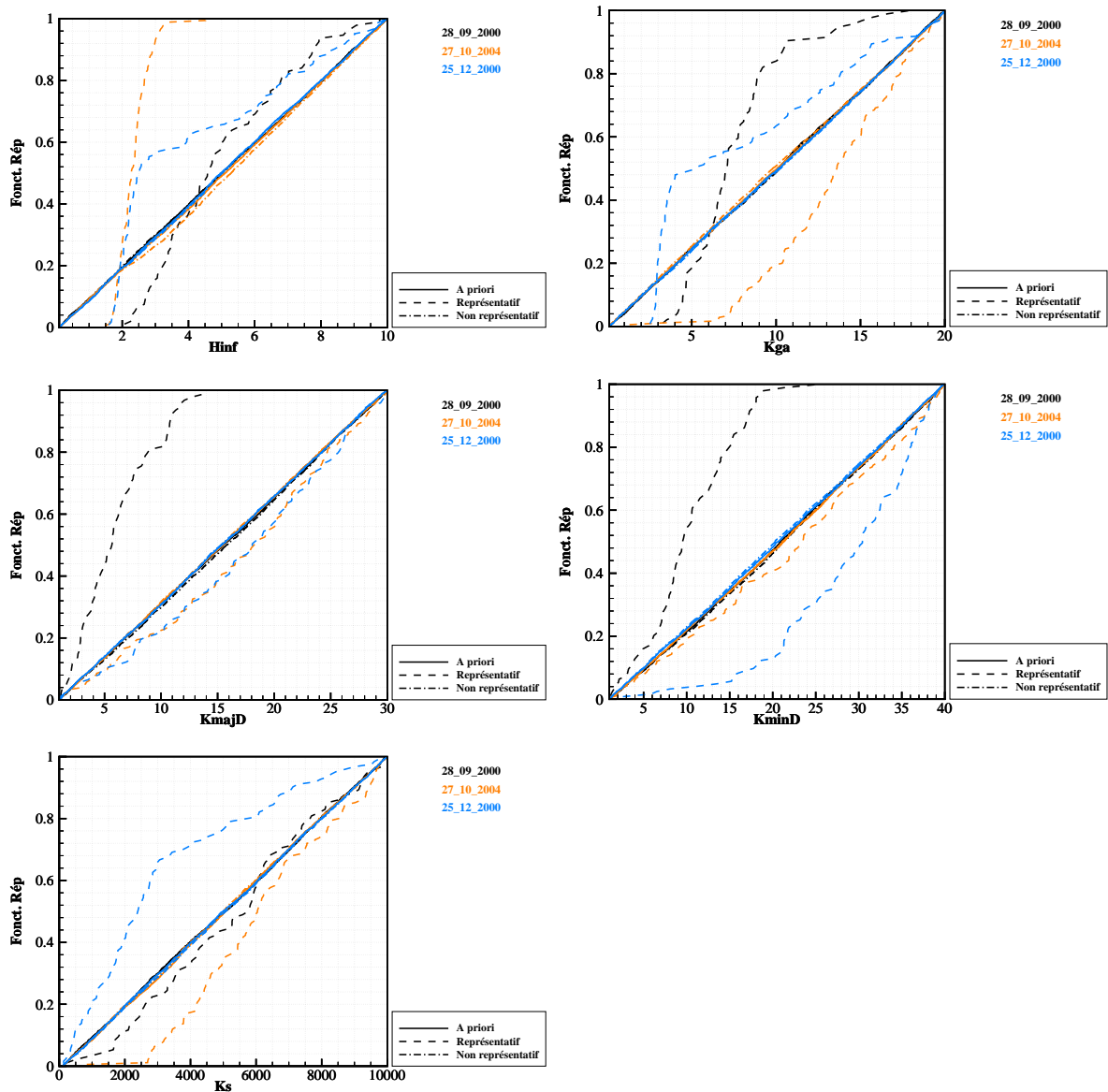
Lire
le début
des annexes

La Cèze à Sénéchas (113 km²)

Fonctions de répartition :

Evènement	type de pluie
28/09/2000	RA_Calibr
25/12/2000	RA_Calibr
27/10/2004	RA_Calibr

Figure 136 : Evènements d'analyse sélectionnés pour la Cèze en amont du barrage de Tharoux



Pluies Calamar :

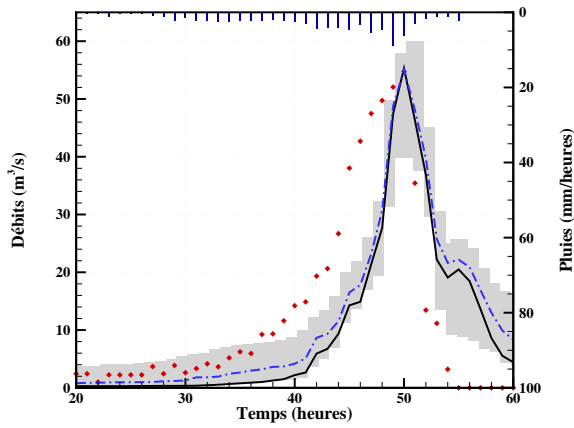


Figure 137 : 25_12_2000_70p

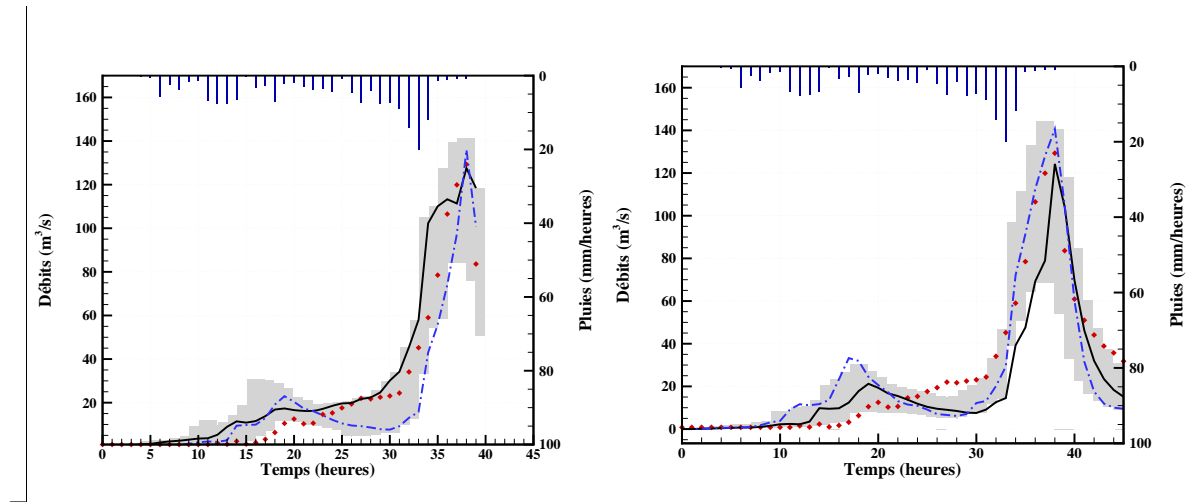


Figure 138 : 27_10_2004_70p ; 28_09_2000_70p

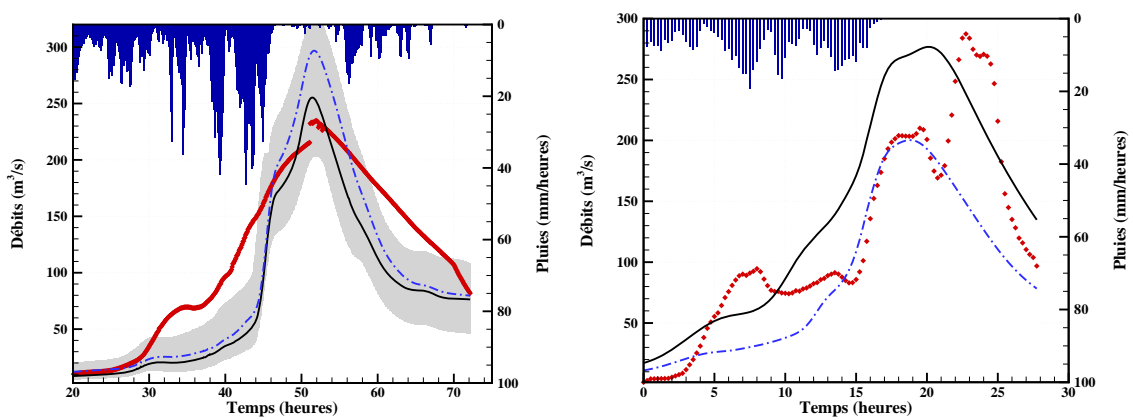


Figure 139 : 31_10_2008_70p; 18_10_2006_70p

La Cèze à Tharoux (662 km²)

Le débit de sortie estimé du barrage de Sénéchas est ici aussi pris en compte comme condition limite.

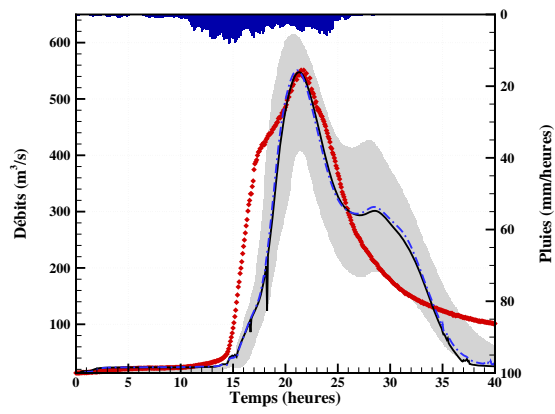


Figure 140 : 16_11_2006_70p

La Beaume à Rosières (212 km²)

Fonctions de répartition :

Evènement	type de pluie
18/10/2006	RA_Calibr
16/11/2006	RA_Calibr
18/04/2008	RA_Calibr
20/10/2008	RA_Calibr
31/10/2008	RA_Calibr
05/05/2010	RA_Calibr

Tableau 18 : Evènements d'analyse sélectionnés pour la Beaume à Rosières

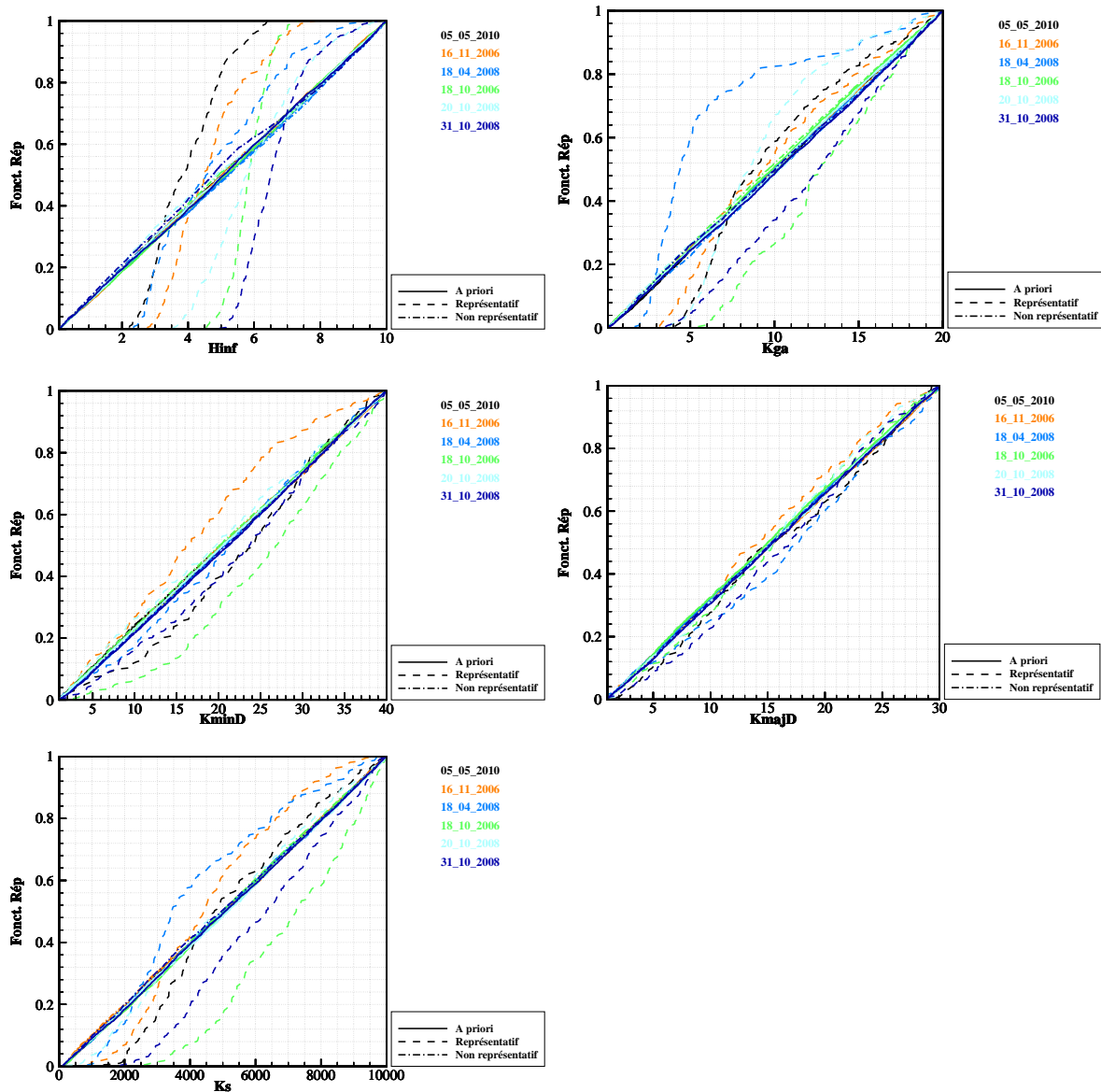


Figure 141 : FDRs pour LNP > 0.8, bassin de la Beaume à Rosières

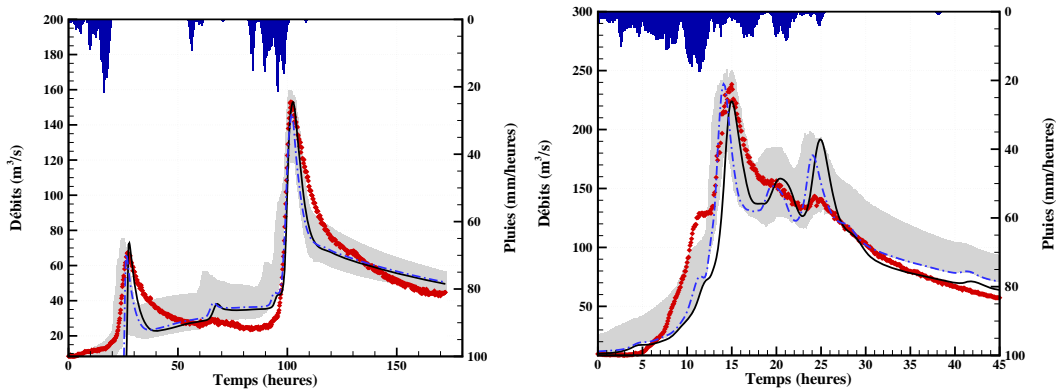


Figure 142 : 05_05_2010_80p ; 16_11_2006_80p

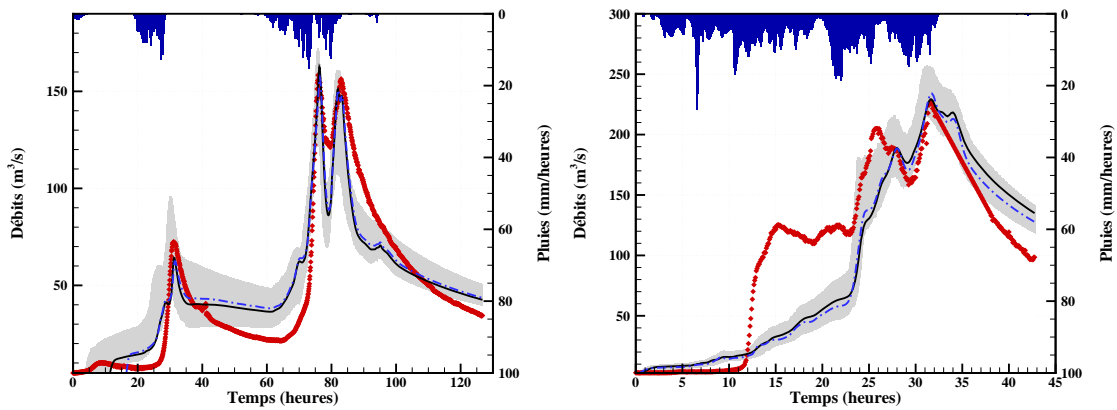


Figure 143 : 18_04_2008_80p ; 18_10_2006_80p ;

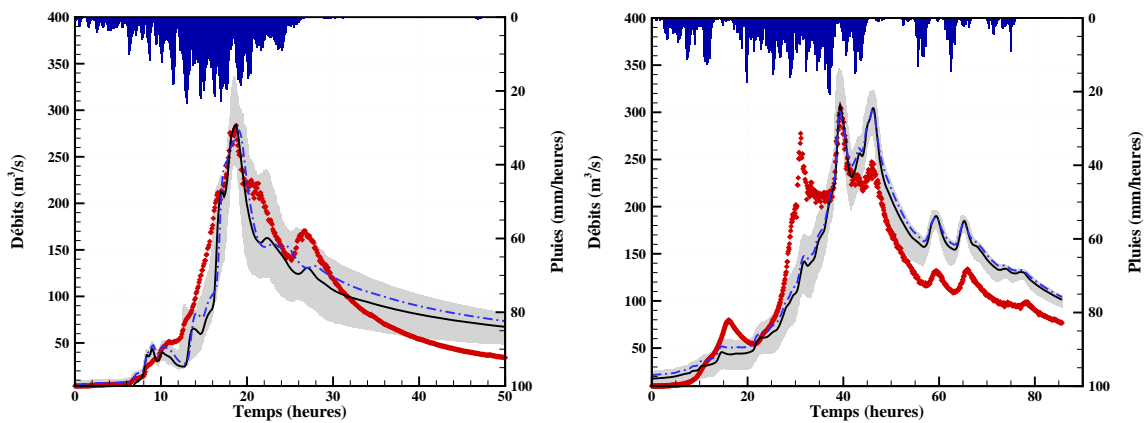


Figure 144 : 20_10_2008_80p ; 31_10_2008_80p

Calibration et validation :

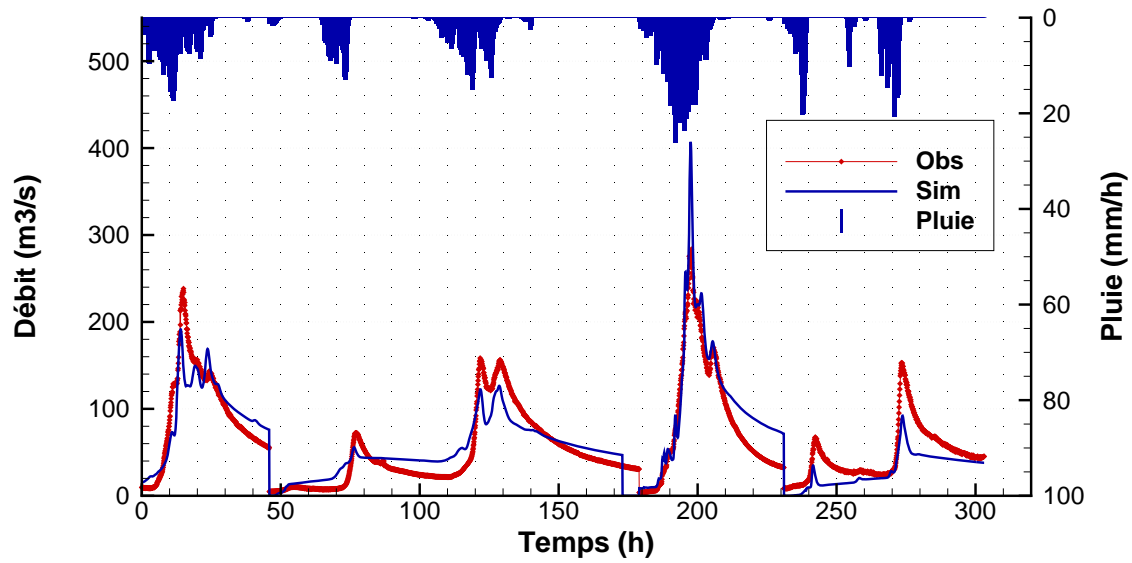


Figure 145 : Calibrations pour la Beume à Rosières, 16/11/2006 ; 18/04/2008 ; 20/10/2008 ; 05/05/2010 (RA_Calibr)

C_Z	C_K	C_{KSS}	K_{D1}	K_{D2}
5.3	7.4	3712	21.4	14.7

Tableau 19 : Jeu de paramètres calibré sur 4 évènements pour la Beume à Rosières

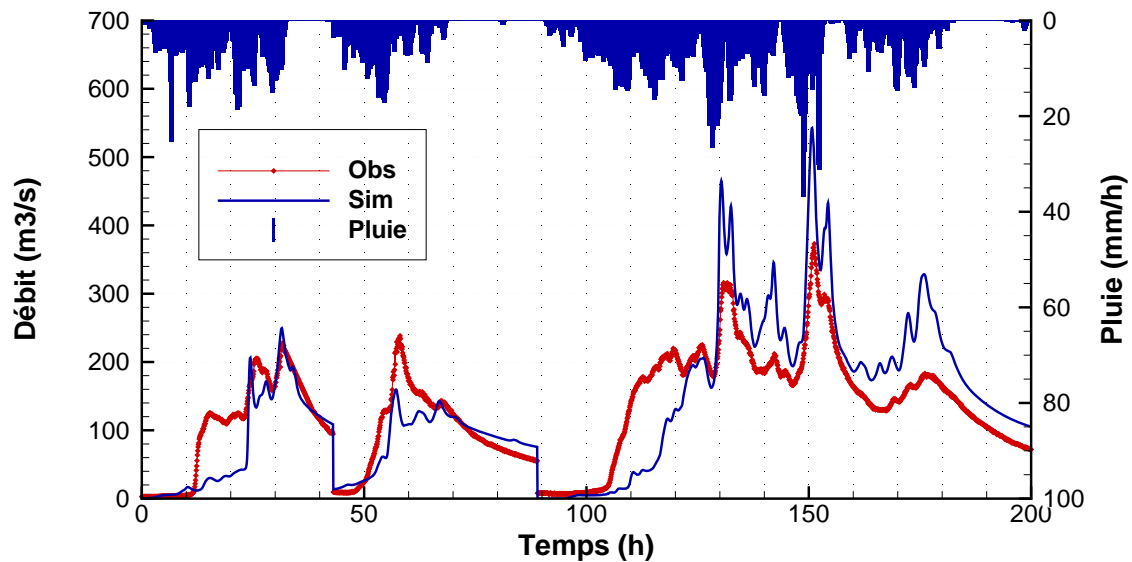


Figure 146 : validation, 18/10/2006 (RA_Calibr), 16/11/2006 (RA_Calibr), 03/11/2011 (RA_Calibr)

L'Ardèche à Vogüé (619km²)

Fonctions de répartition :

Evènement	type de pluie
18/10/2006	RA_Calibr
16/11/2006	RA_Calibr
18/04/2008	RA_Calibr
20/10/2008	RA_Calibr
31/10/2008	RA_Calibr
05/05/2010	RA_Calibr

Tableau 20 : Evènements d'analyse sélectionnés pour l'Ardèche à Vogüé

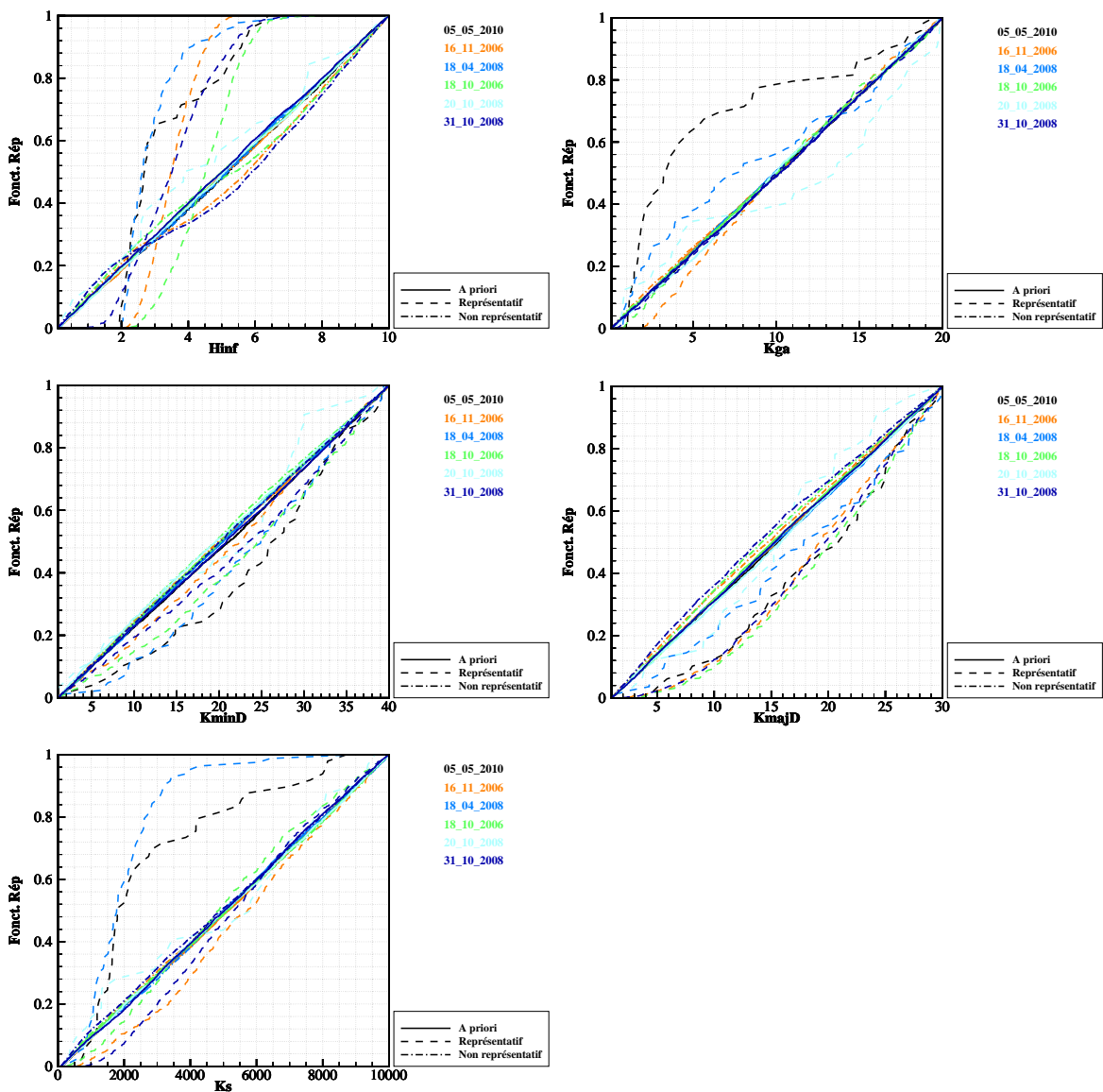


Figure 147 : FDRs pour LNP > 0.8, bassin de l'Adèche à Vogüé

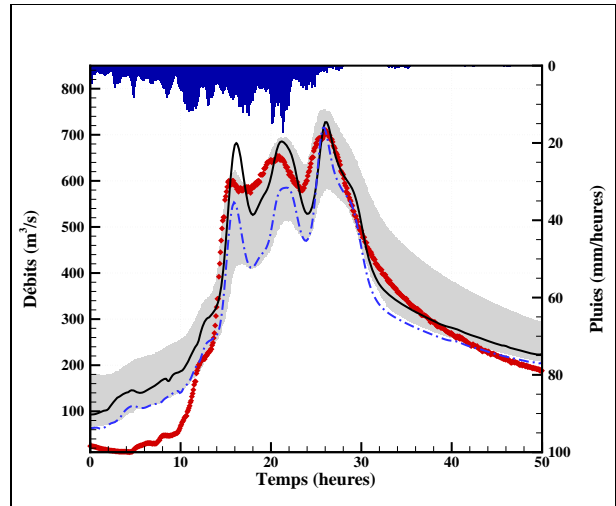
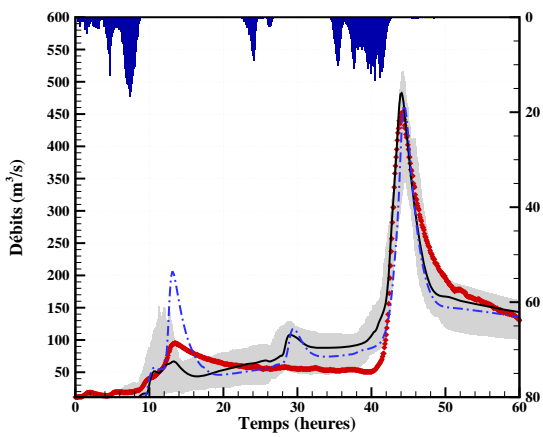


Figure 148 : 05_05_2010_80p ; 16_11_2006_80p

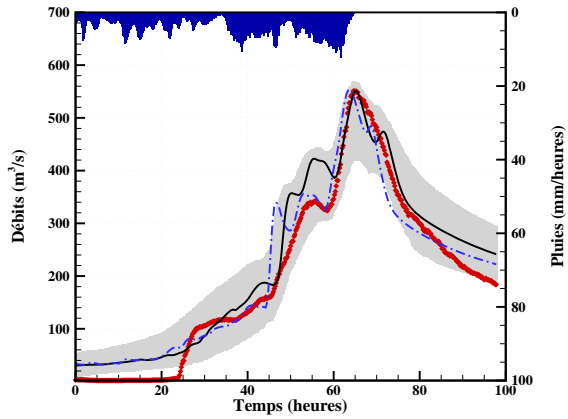
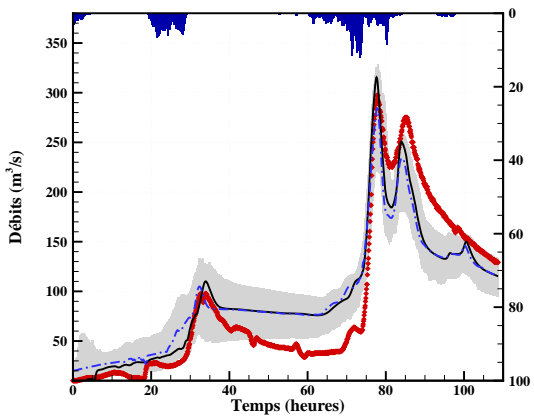


Figure 149 : 18_04_2008_80p ; 18_10_2006_80p

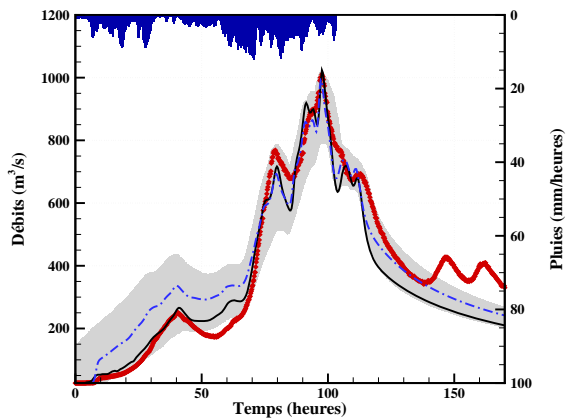
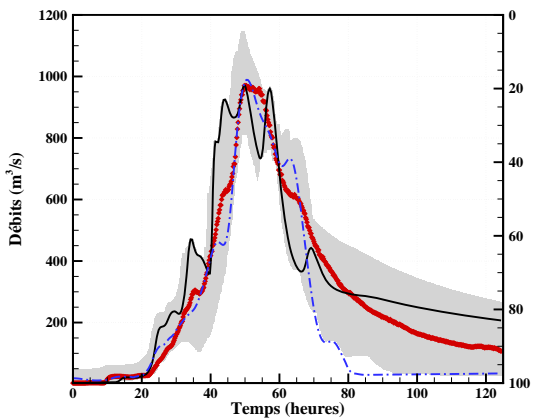


Figure 150 : 20_10_2008_80p ; 31_10_2008_80p

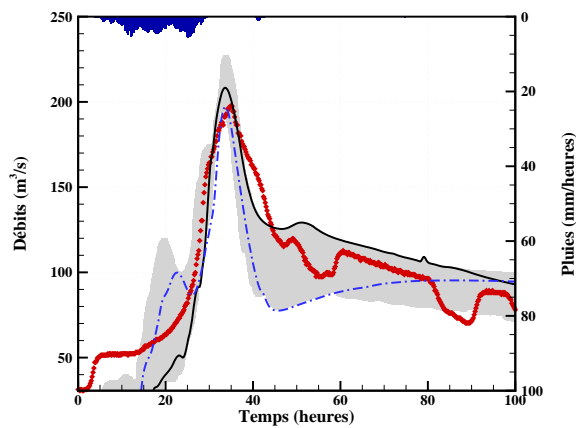


Figure 151 : 03_04_2010_70p ;

Calibration et Validations

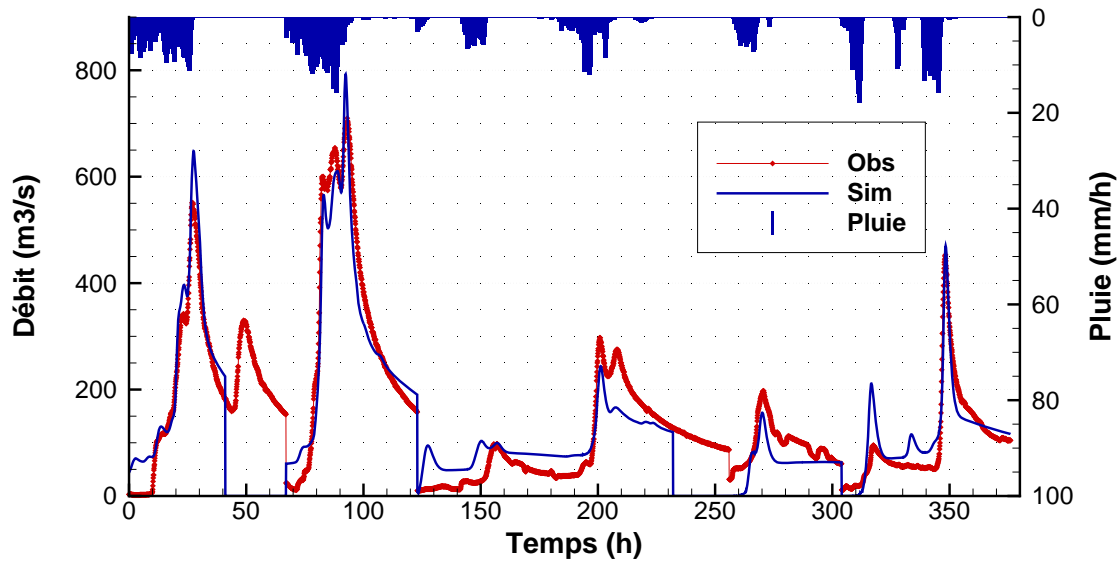


Figure 152 : Calibrations pour l'Ardèche à Vogüé, 18/10/2006 ; 16/11/2006 ; 18/04/2008 ; 03/04/2010 ; 05/05/2010 (RA_Calibr)

C_Z	C_K	C_{KSS}	K_{D1}	K_{D2}
3.4	2.1	4891	10	19.1

Tableau 21 : Jeu de paramètres calibré sur 4 événements pour l'Ardèche à Vogüé

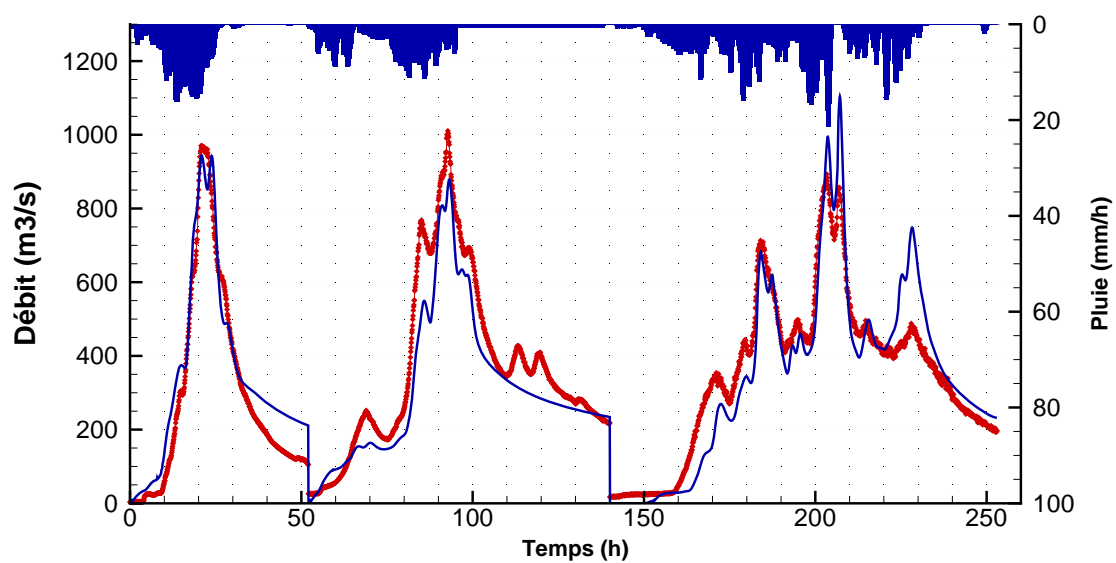


Figure 153 : validations pour l'Ardèche à Vogüé, 20/10/2008, 31/10/2008, 03/11/2011 (RA_Calibr) ;

SPCAllier

L'Allier à Langogne (324 km²)

Fonctions de répartition :

Evènement	type de pluie
17/10/2006	RA_Calibr
31/10/2008	RA_Calibr

Tableau 22 : Evènements d'analyse sélectionnés pour l'Allier à Langogne

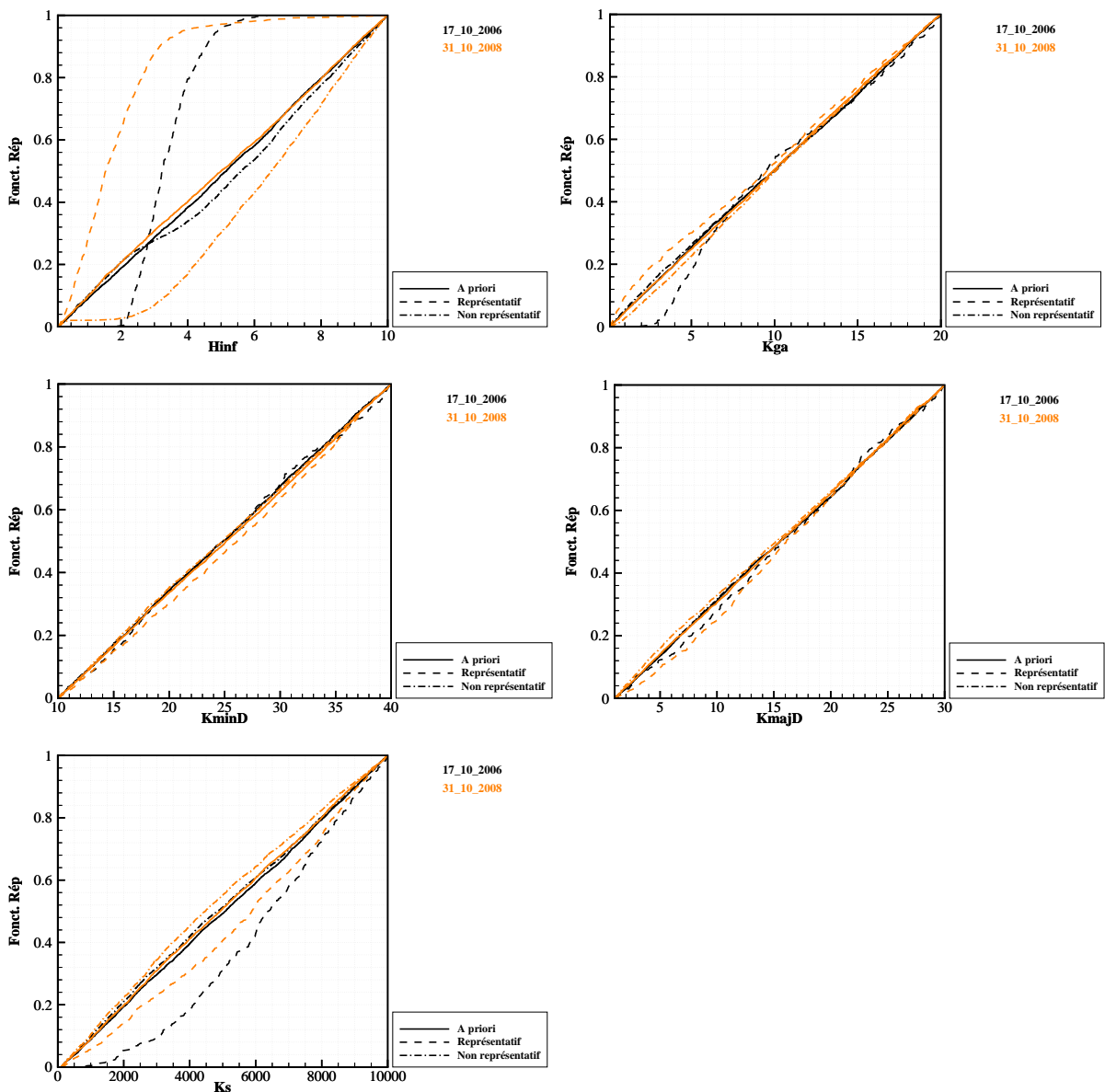


Figure 154 : FDRs pour LNP > 0.7, bassin de l'Allier à Langogne

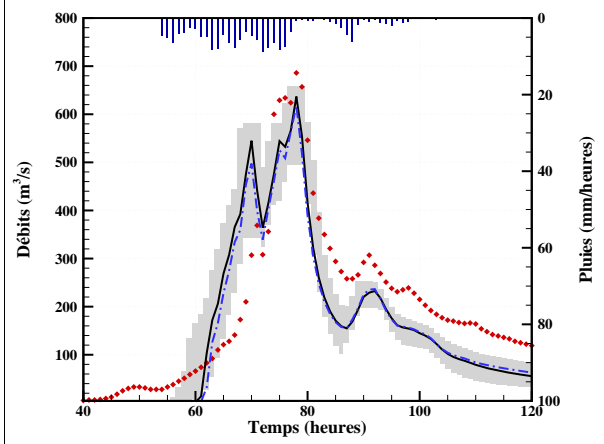
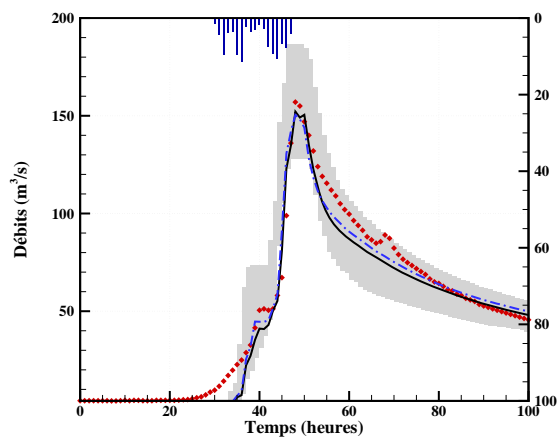


Figure 155 : 18_10_2006_70p ; 31_10_2008_70p

SPC TARN-LOT

Le Tarnon à Florac (261 km²)

Fonctions de répartition :

Evènement	type de pluie
18/10/2006	RA_Calibr
31/10/2008	RA_Calibr
03/11/2011	RA_ReanH

Tableau 23 : Evènements d'analyse sélectionnés pour le Tarnon à Florac

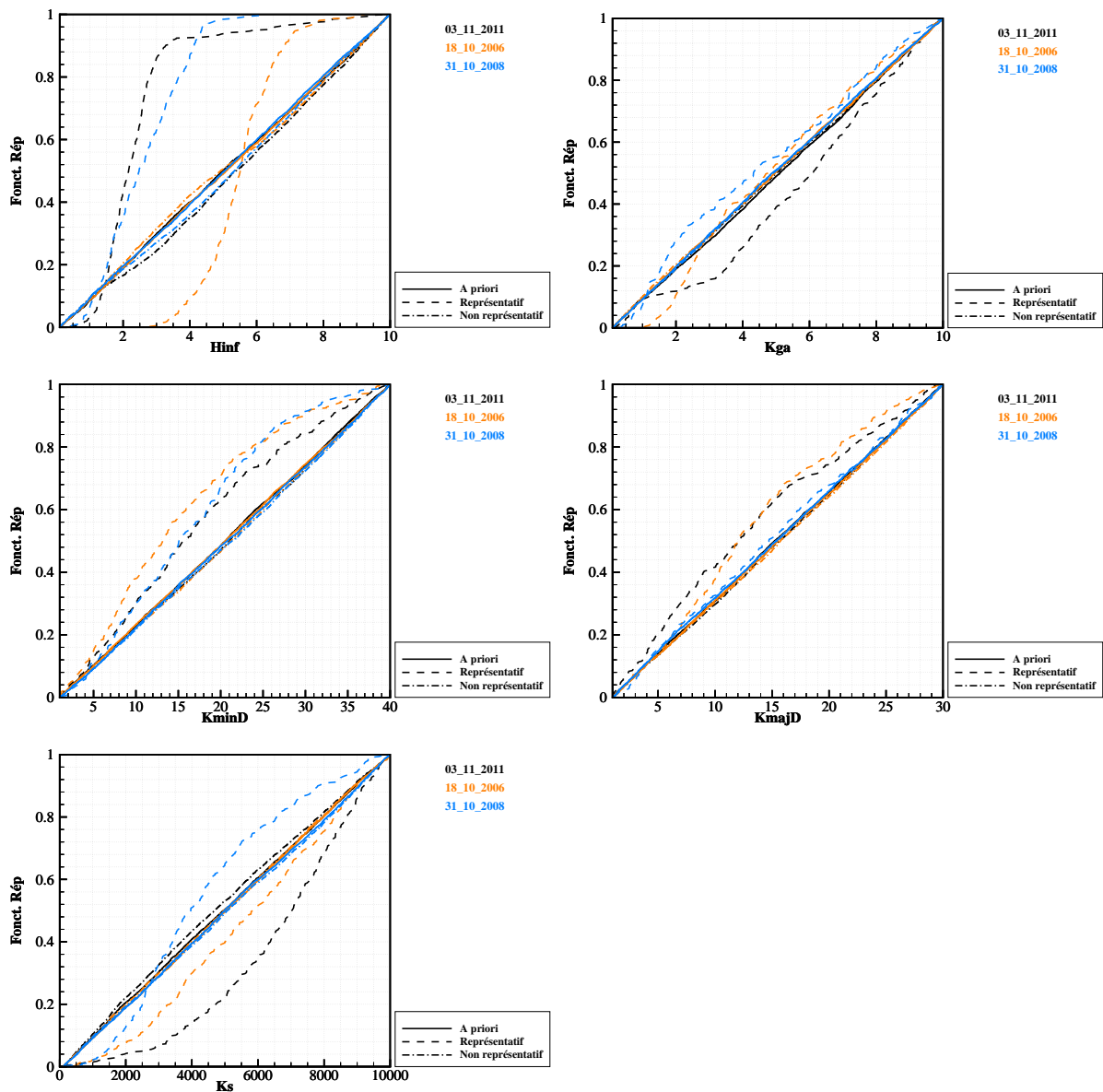


Figure 156 : FDRs pour LNP > 0.7, bassin du Tarnon à Florac

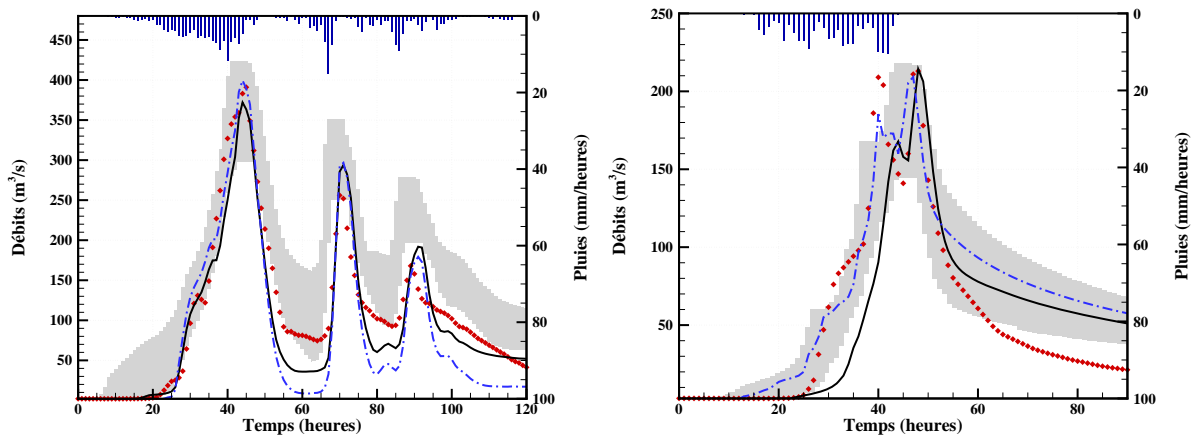


Figure 157 : 03_11_2011_70p_RA_ReanH ; 18_10_2006_70p_RA_Calibr

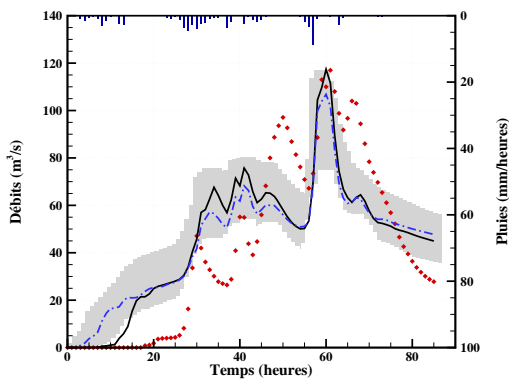


Figure 158 : 31_10_2008_70p_RA_Calibr

Calibration :

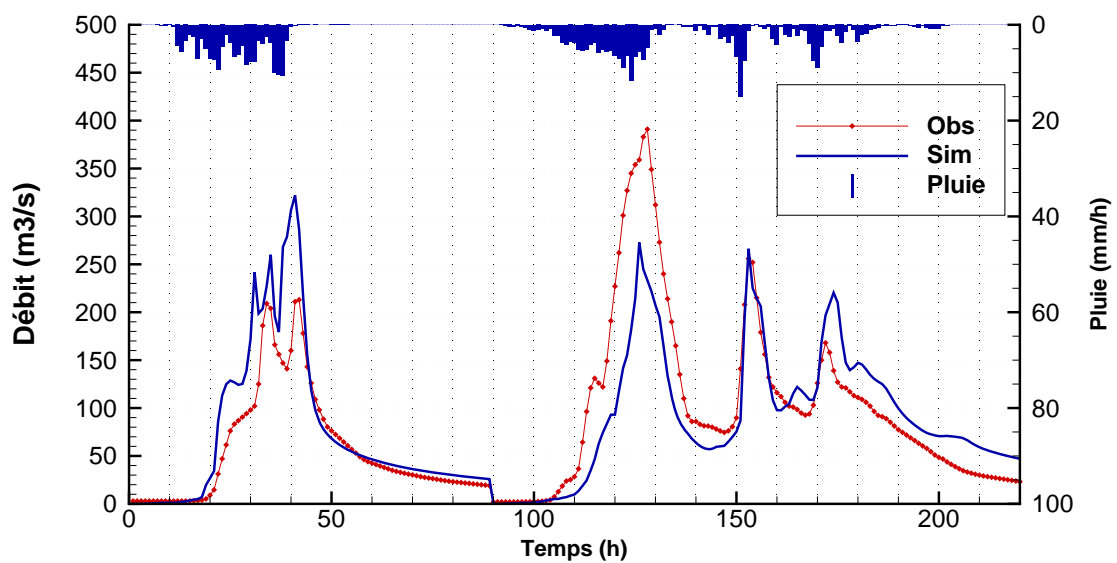


Figure 159 : Calibrations pour le Tarnon à Florac, 18/10/2006 (RA_Calibr); 03/11/2011 (RA_ReanP)

C_Z	C_K	C_{KSS}	K_{D1}	K_{D2}
2.3	5.7	6972	14.4	8.4

Tableau 24 : Jeu de paramètres calibré sur 4 évènements pour le Tarnon à Florac

SPCME

L'Aille à Vidauban (227 km²)

Fonctions de répartition :

Evènement	type de pluie
03/11/2008	RA_ReanP
14/06/2010	RA_ReanP
21/12/2010	RA_ReanP
14/02/2011	RA_ReanP
03/11/2011	RA_ReanP+RG_interp

Tableau 25 : Evènements d'analyse sélectionnés pour le bassin de l'Aille à Vidauban

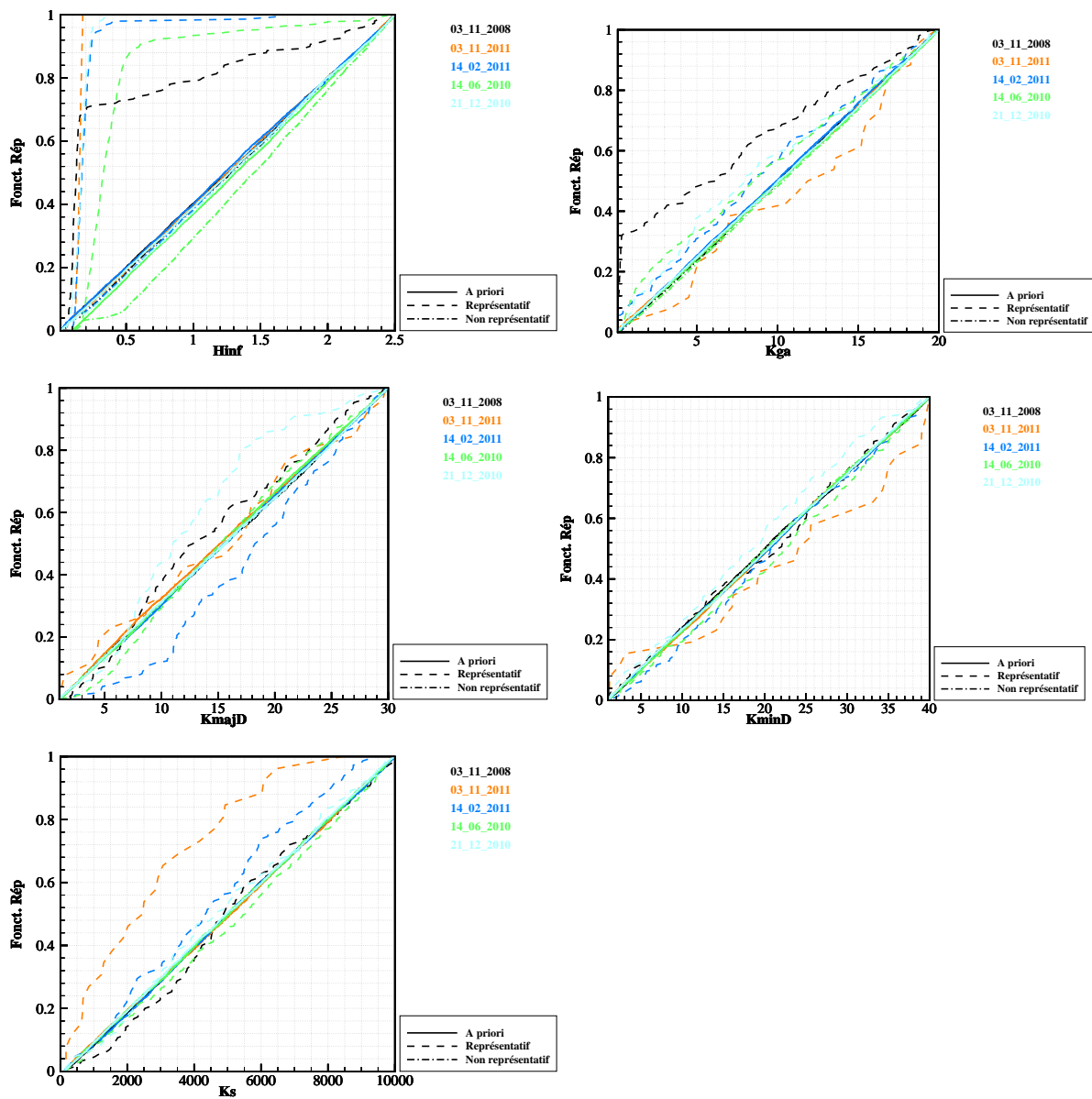


Figure 160 : FDRs pour LNP > 0.7, bassin de l'Aille à Vidauban

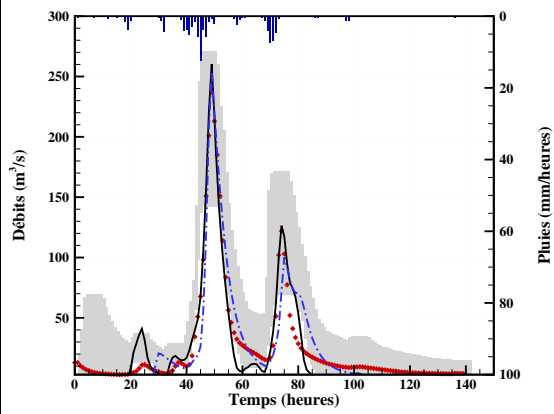
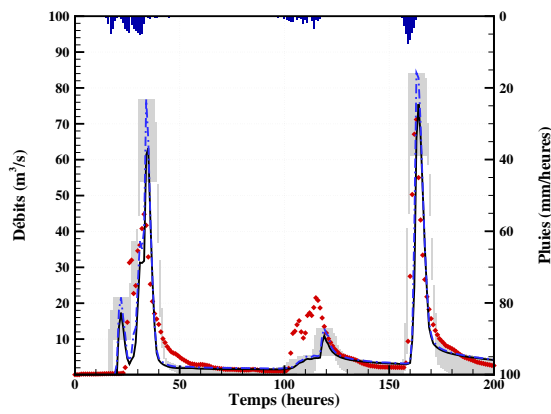


Figure 161 : 02_12_2006_70p ; 03_11_2008_70p

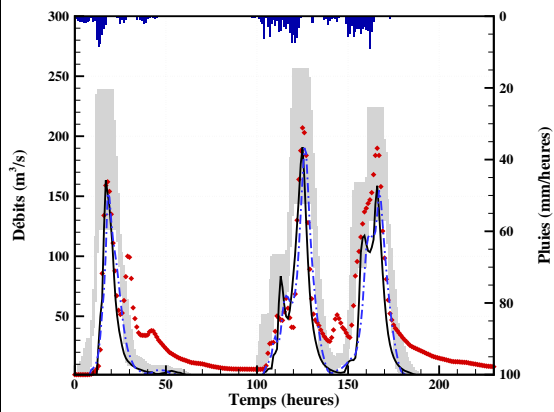
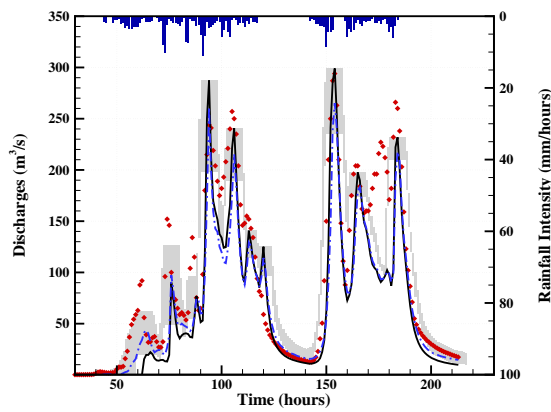


Figure 162 : 03_11_2011_80p ; 09_12_2008_70p

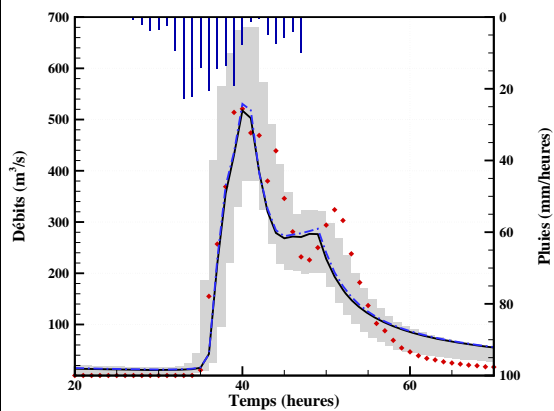
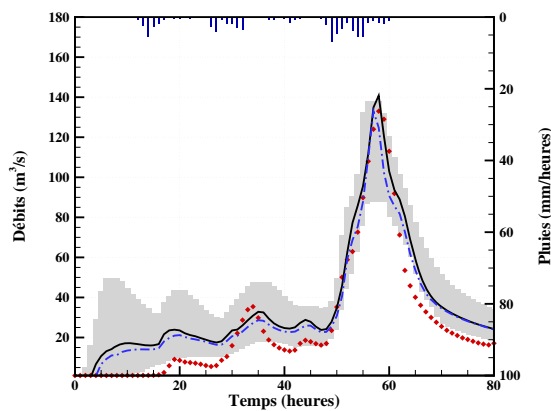


Figure 163 : 14_02_2011_70p ; 14_06_2010_70p

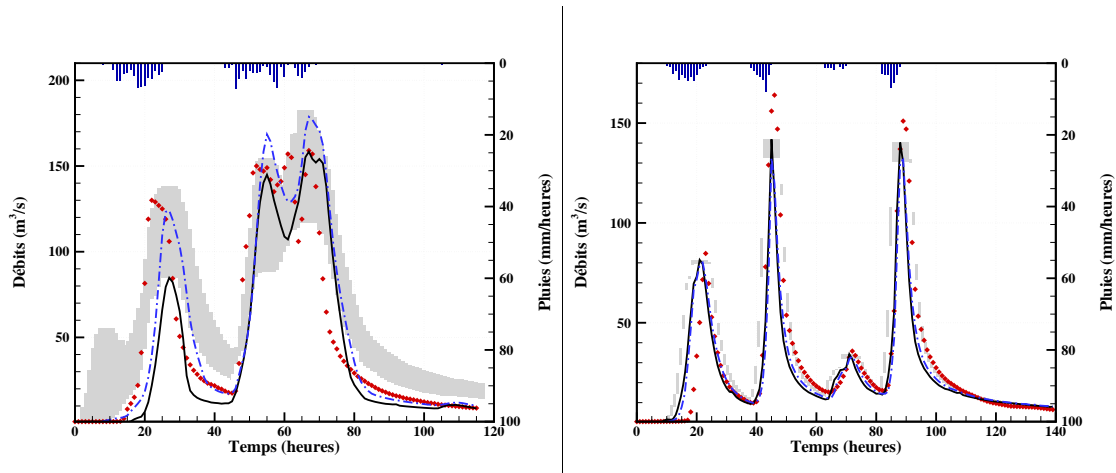


Figure 164 : 21_12_2010_70p ; 21_12_2009_70p

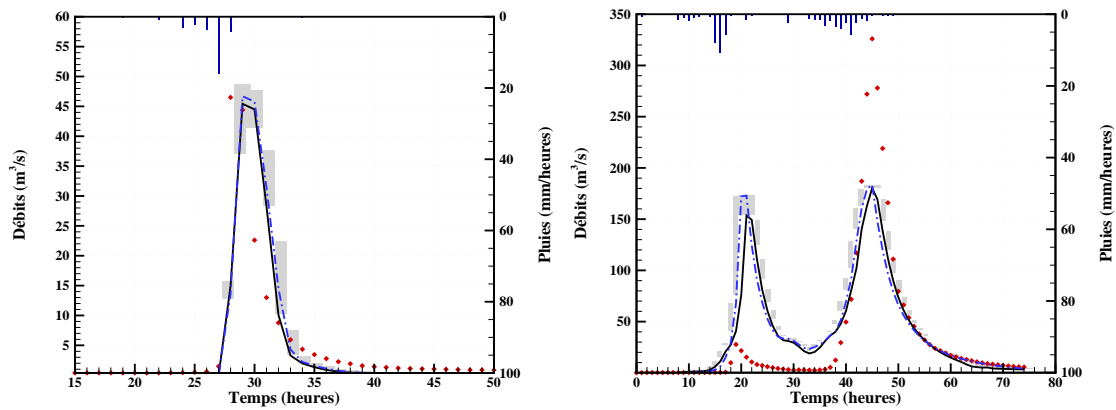


Figure 165 : 04_06_2011_70p ; 21_10_2009_70p

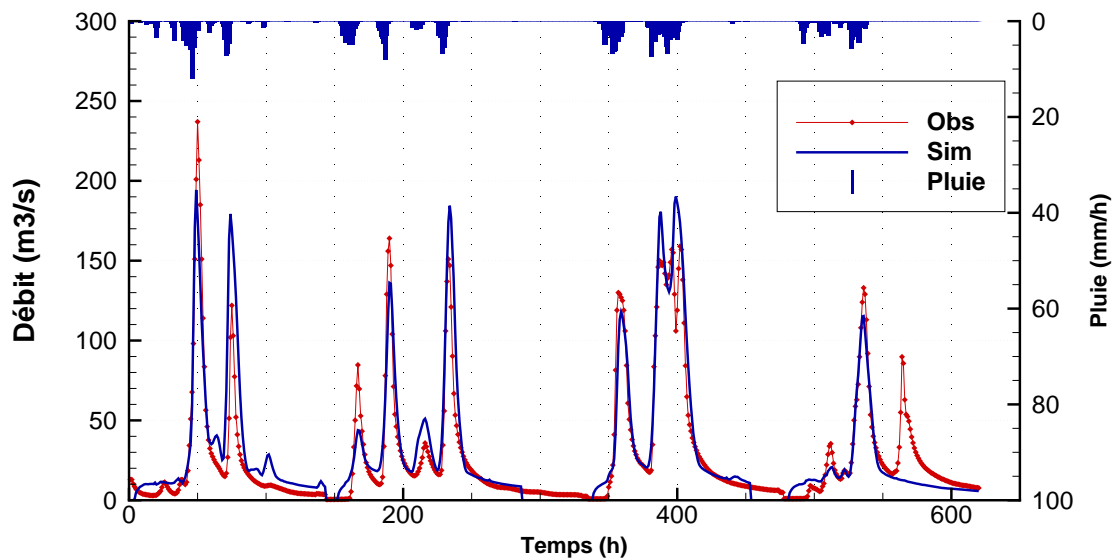


Figure 166 : Calibrations pour l'Aille à Vidauban, 03/11/2008,21/12/2009,21/12/2010,14/02/2011 (RA_ReanH,P)

C_Z	C_K	C_{KSS}	K_{D1}	K_{D2}
0.1	4	715	31.2	7

Tableau 26 : Jeu de paramètres calibré sur 4 évènements pour l'Aille à Vidauban

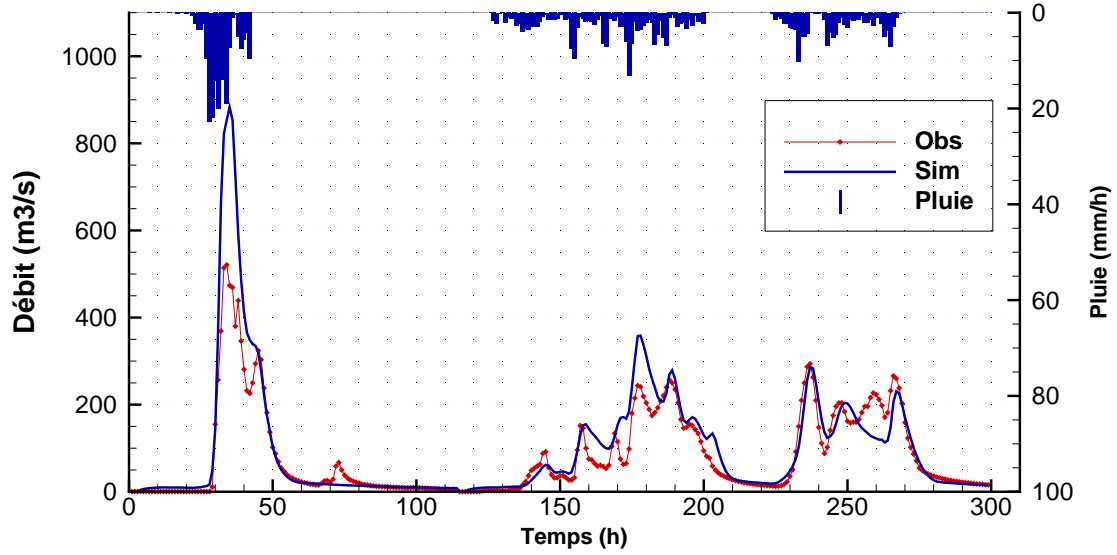


Figure 167 : Validation pour l'Aille à Vidauban, 14/06/2010 (RA_ReanP), 03/11/2011 (RA_ReanP, RG)

Gapeau à Hyères (535 km²)

Fonctions de répartition :

Evènement	type de pluie
09/12/2008	RA_ReanP
25/01/2009	RA_ReanP
21/12/2009	RA_ReanP
14/06/2010	RA_ReanP
21/12/2010	RA_ReanP

Tableau 27 : Evènements d'analyse sélectionnés pour le bassin de le Gapeau à Hyères

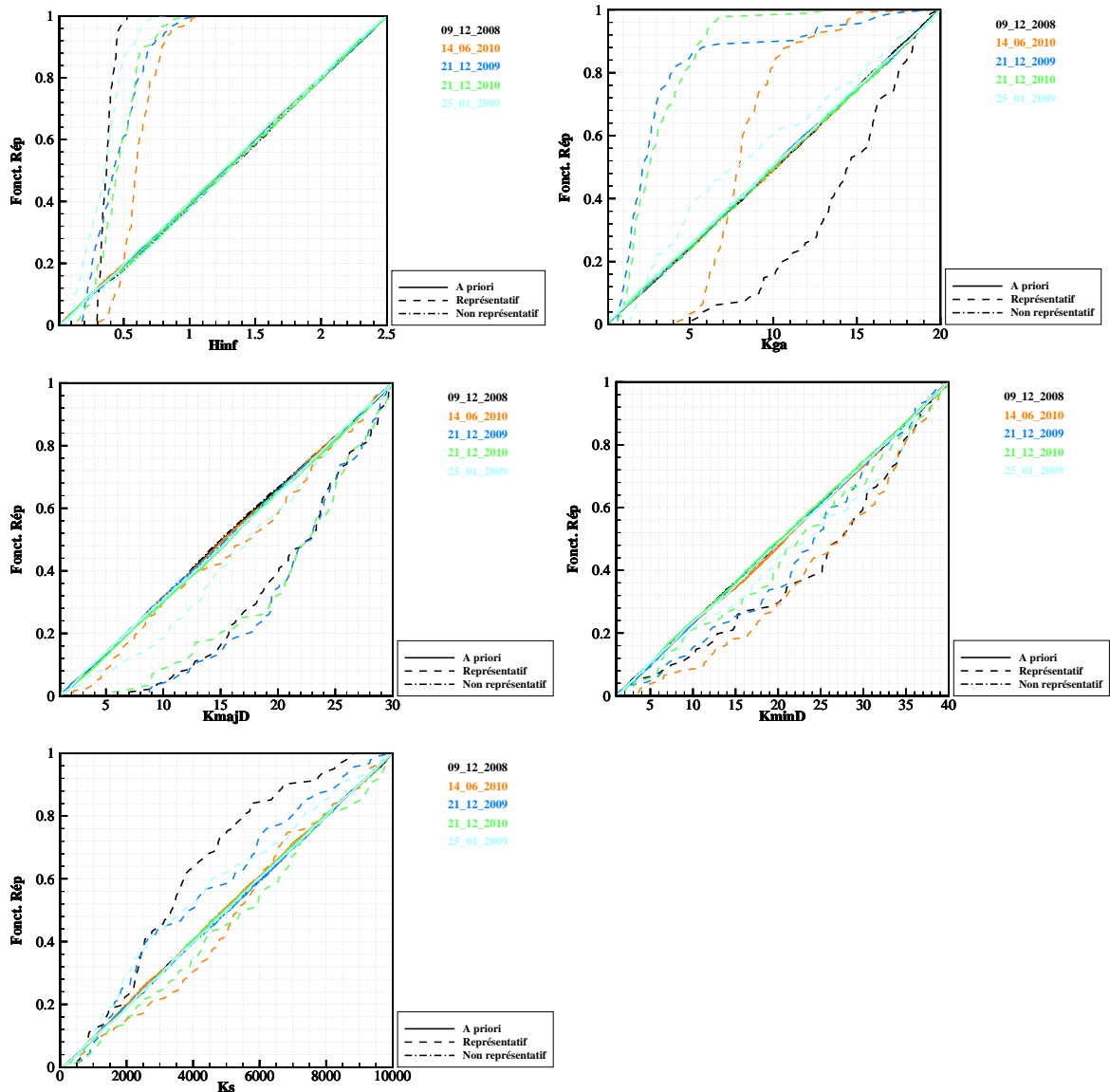


Figure 168 : FDRs pour LNP > 0.7, bassin du Gapeau à Hyères

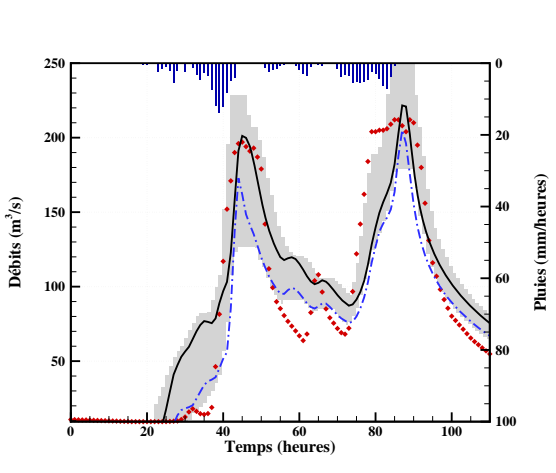
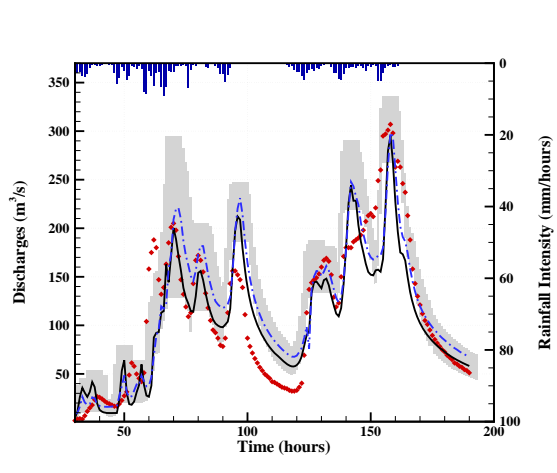


Figure 169 : 03_11_2011_80p ; 09_12_2008_70p

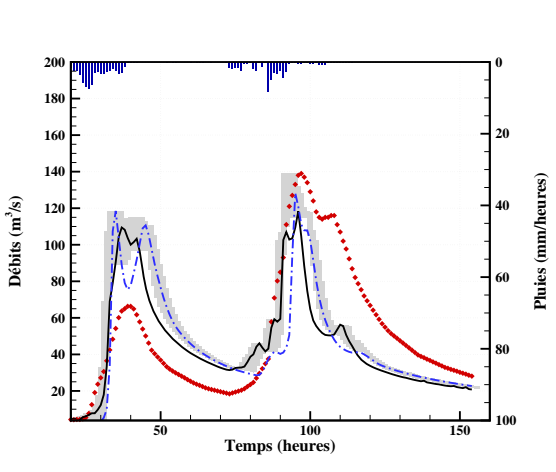
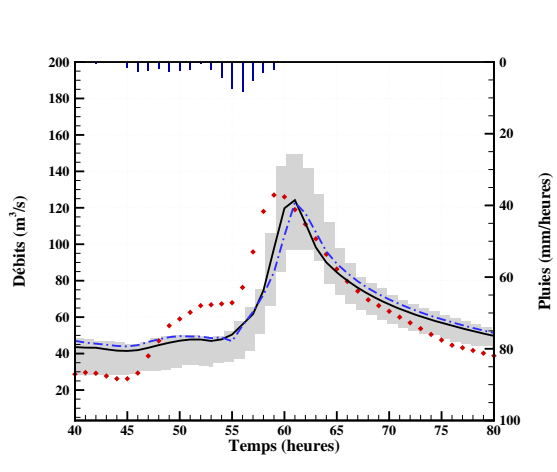


Figure 170 : 14_02_2011_70p ; 14_03_2011_50p

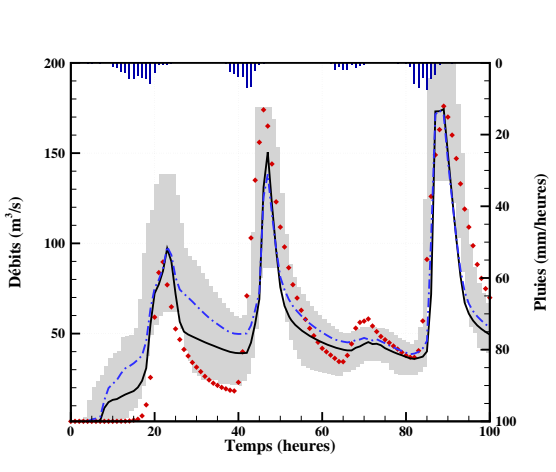
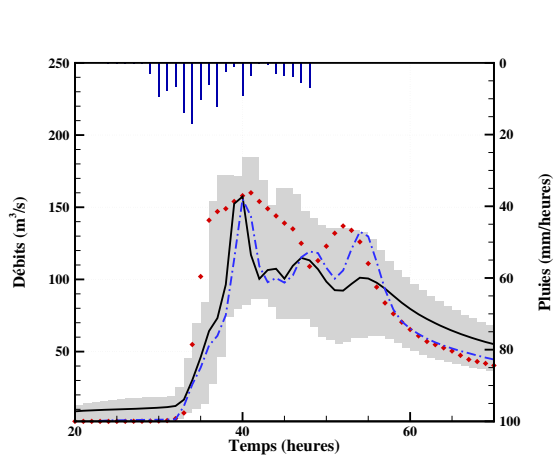


Figure 171 : 14_06_2010_70p ; 21_12_2009_70p

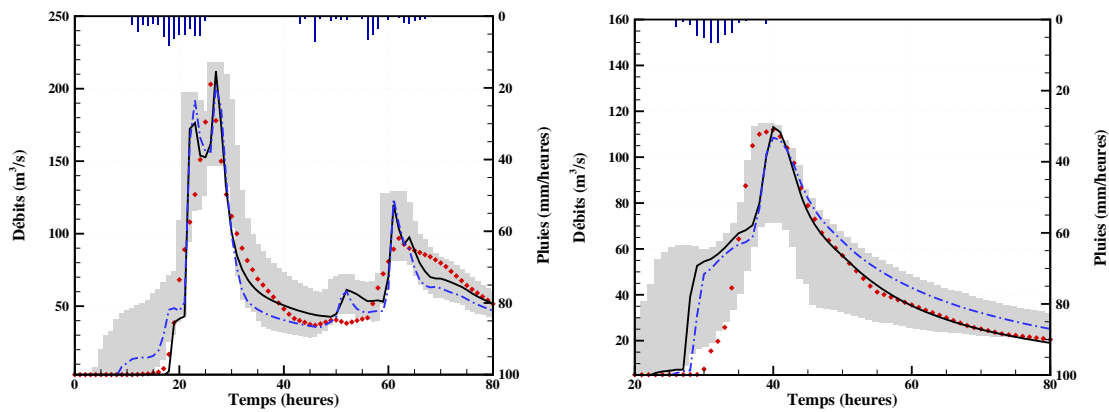


Figure 172 : 21_12_2010_70p ; 25_01_2009_70p

Calibration et validation :

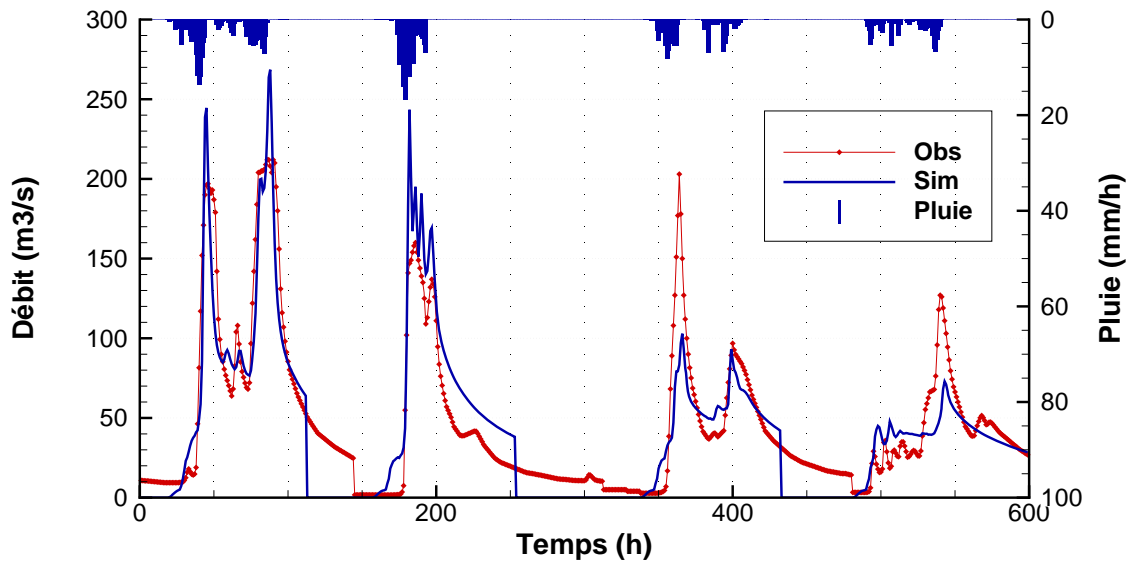


Figure 173 : Calibrations pour le Gapeau à Hyères, 09/12/2008, 14/06/2010, 21/12/2010, 14/02/2011 (RA_ReanH,P)

C_Z	C_K	C_{KSS}	K_{D1}	K_{D2}
0.3	4.76	1200	14	20.8

Tableau 28 : Jeu de paramètres calibré sur 4 évènements pour Gapeau à Hyères

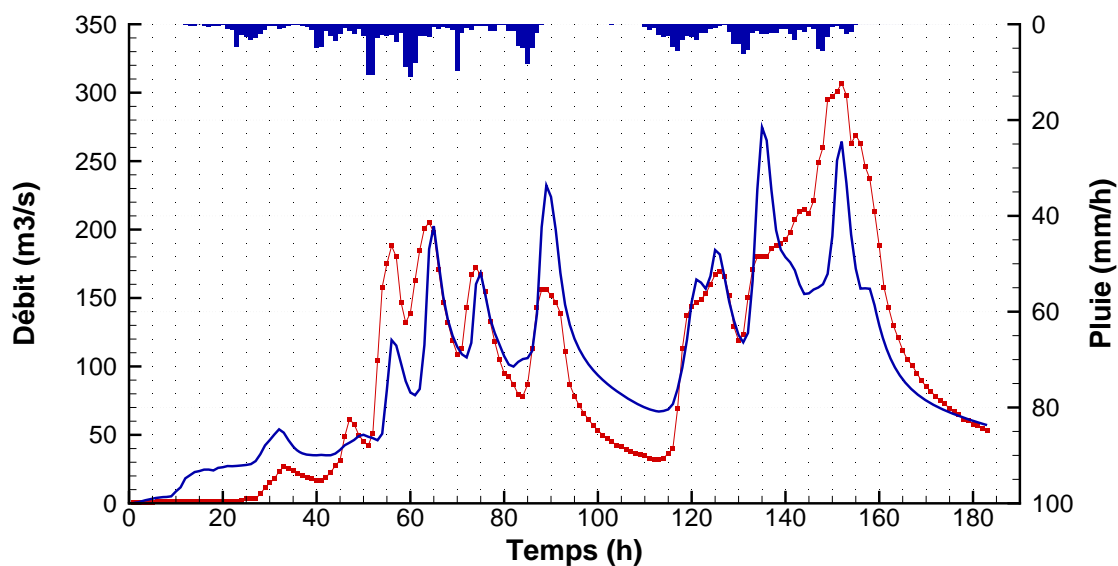


Figure 174 : Validation pour le Gapeau à Hyères, 03/11/2011 (RA_ReanP et RG_interp)

Réal Martin à La Crau (283 km²)

Fonctions de répartition :

Evènement	type de pluie
09/12/2008	RA_ReanP
25/01/2009	RA_ReanP
14/06/2010	RA_ReanP
21/12/2010	RA_ReanP
14/02/2011	RA_ReanP
03/11/2011	RA_ReanP+RG_interp

Tableau 29 : Evènements d'analyse sélectionnés pour le bassin de le Réal Martin à la Crau

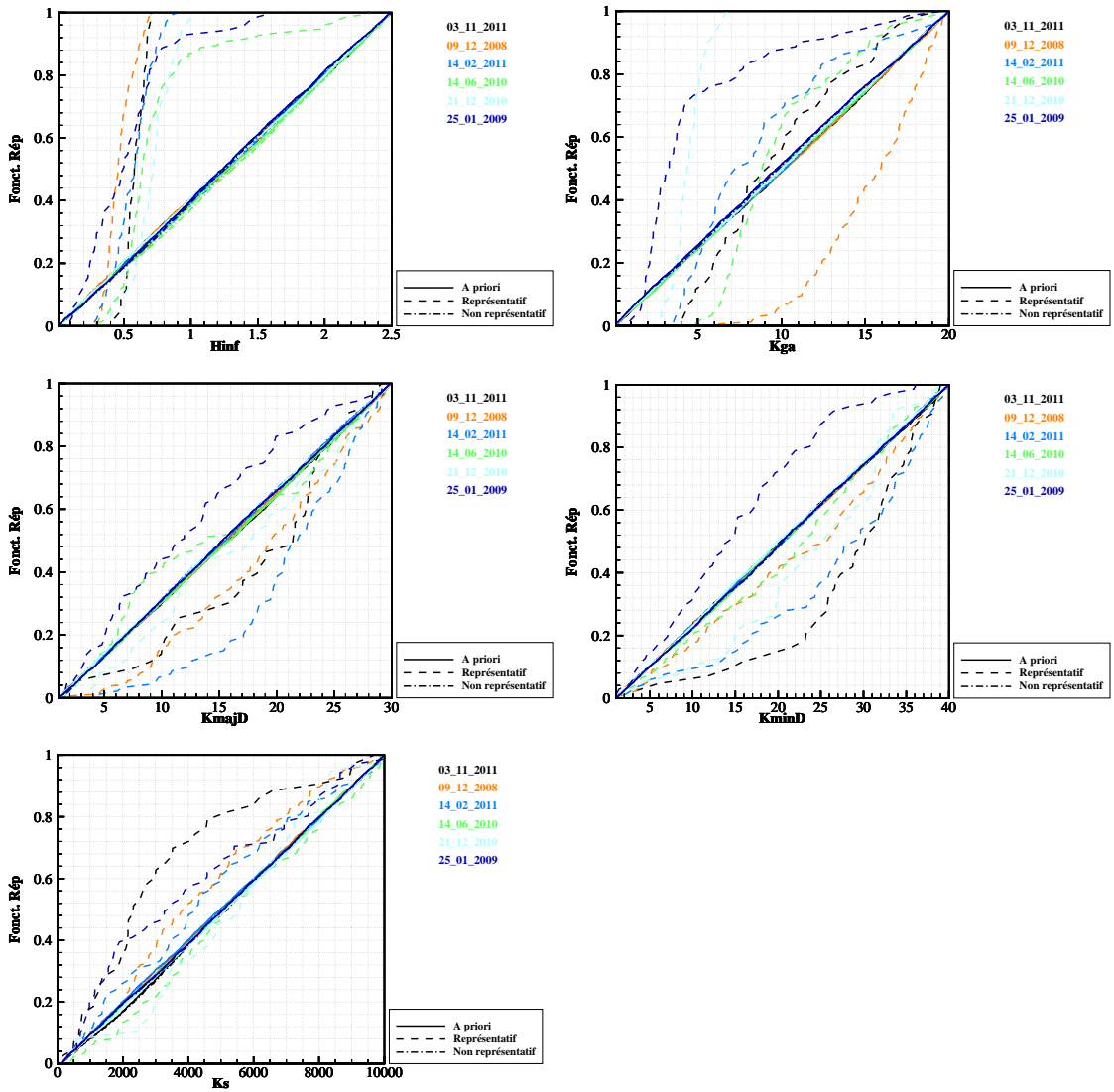


Figure 175 : FDRs pour LNP > 0.7, bassin du réal Martin à la Crau

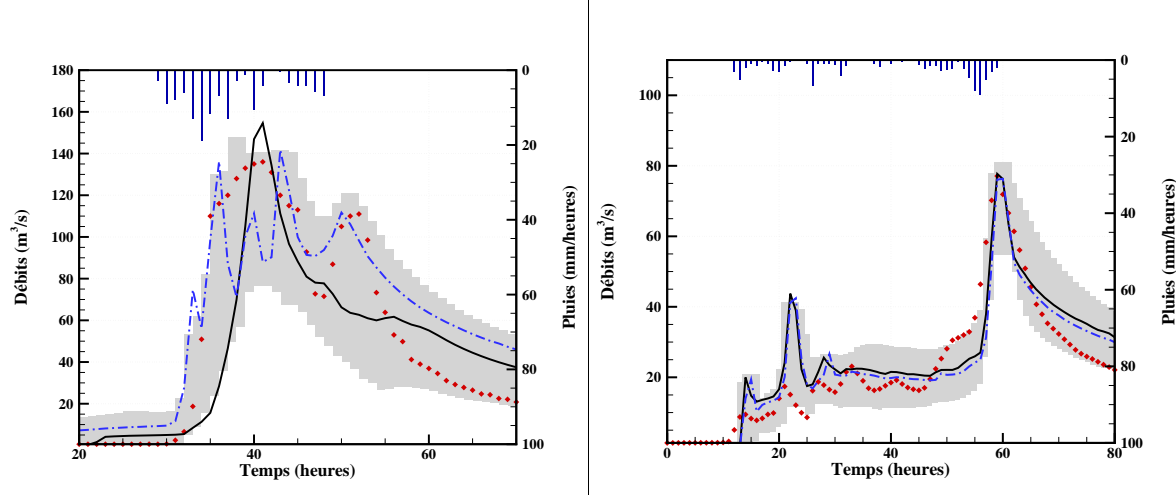


Figure 176 : 14_06_2010_70p ; 14_02_2011_70p

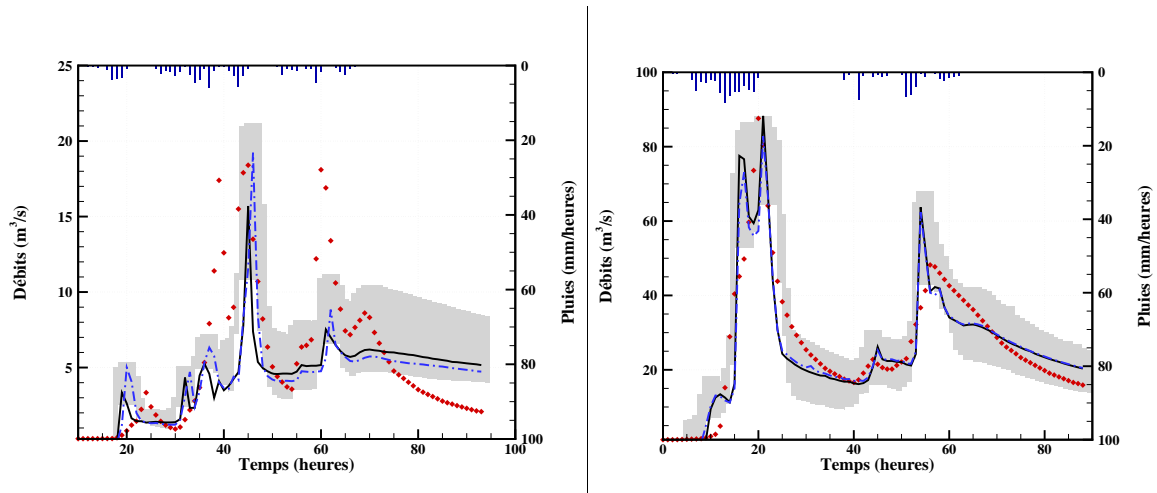


Figure 177 : 30_10_2010_70p ; 21_12_2010_70p

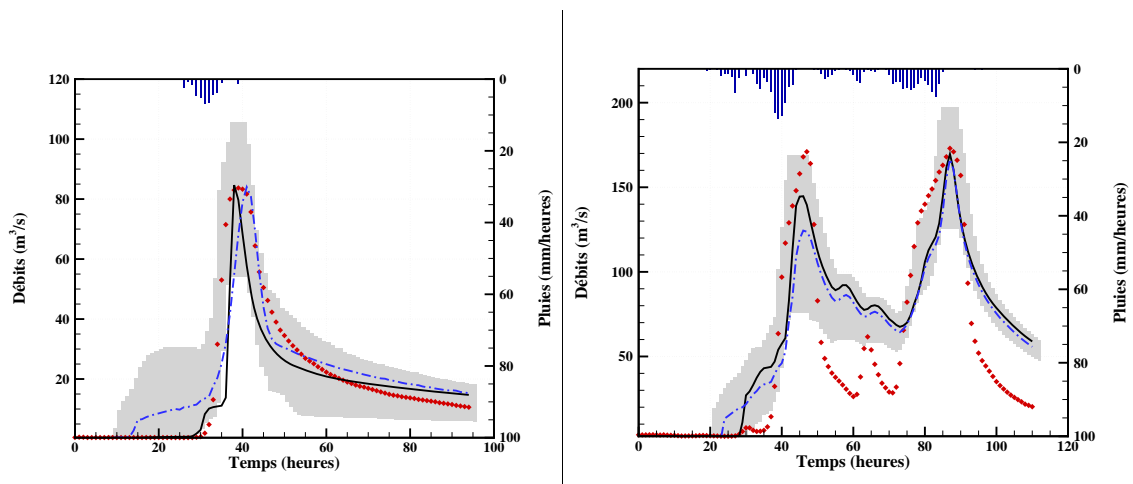


Figure 178 : 25_01_2009_70p ; 09_12_2008_70p

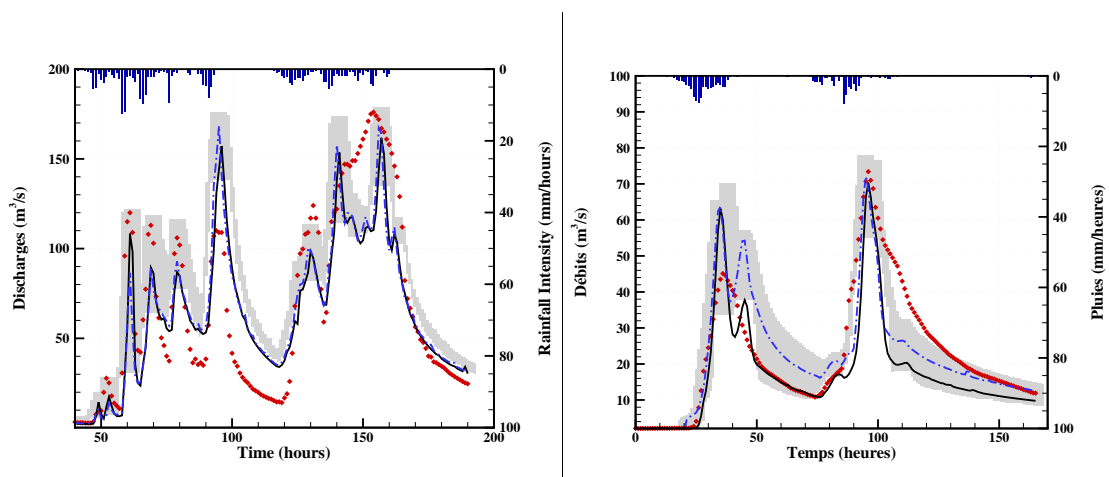


Figure 179 : 03_11_2011_70p ; 14_03_2011_70p

Calibration et validation :

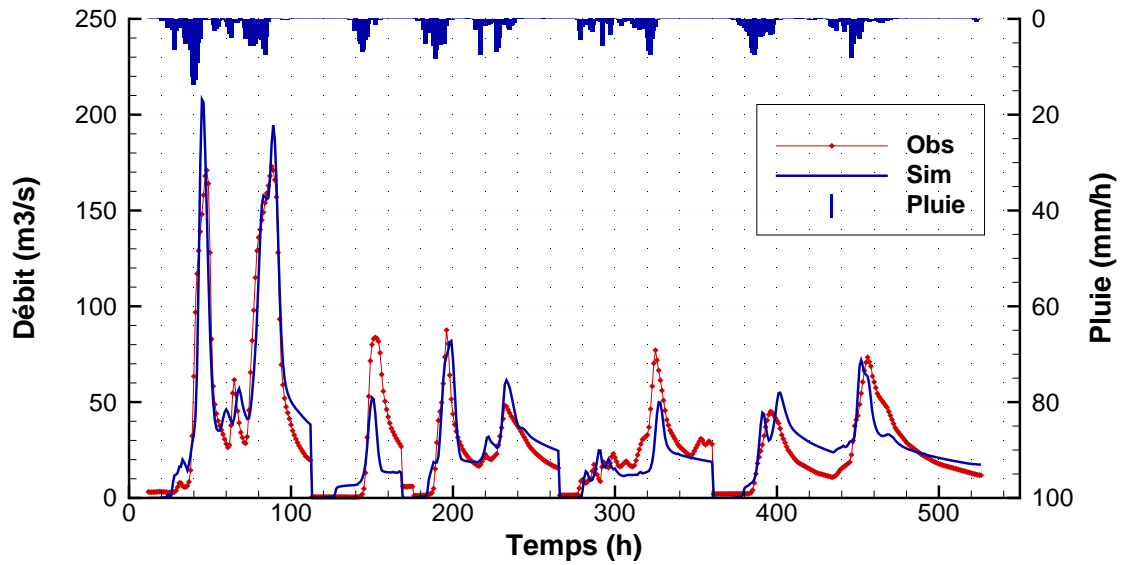


Figure 180 : calibration pour le Réal Martin à la Crau, 09/12/2008 ; 25/01/2009 ; 21/12/2010 ; 14/02/2011 ; 14/03/2011 (RA_ReanH,P)

C_Z	C_K	C_{KSS}	K_{D1}	K_{D2}
0.1	4	715	31.2	7

Tableau 30 : Jeu de paramètres calibré sur 3 événements pour le Réal Martin à la Crau

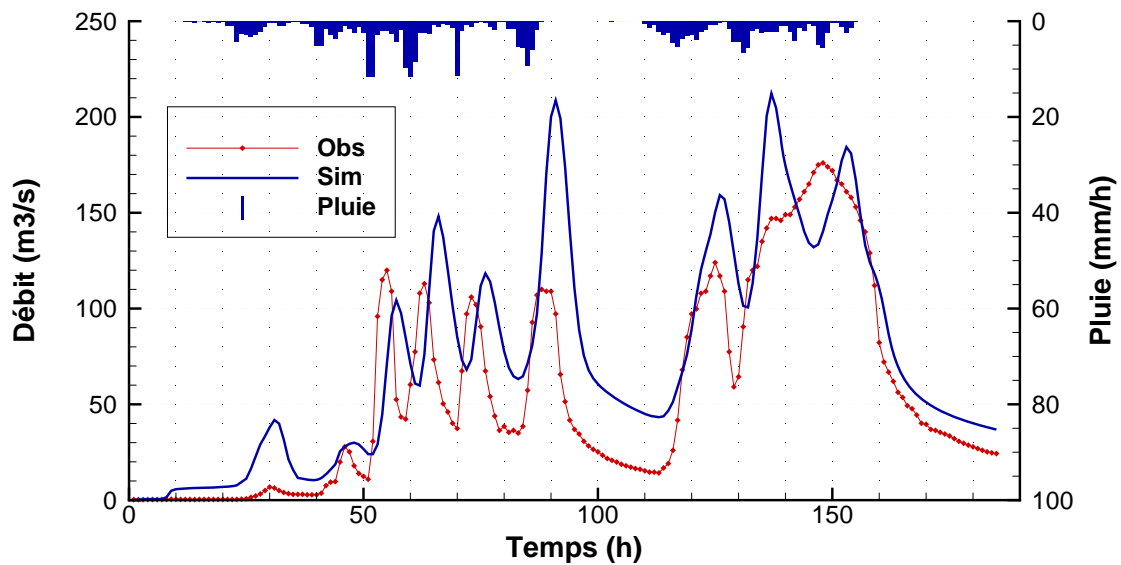


Figure 181 : Validation pour le Réal Martin à la Crau, 03/11/2011 (RA_ReanP et RG_interp)

Gapeau à Sollies-pont (186 km²)

Les fonctions de répartition des paramètres de MARINE pour ce bassin versant ne sont pas présentées. En effet la majeure partie du bassin est très karstique et les hypothèses de modélisation ne permettent pas des modélisations satisfaisantes pour certains évènements/pics. De plus des erreurs importantes d'estimation des lames d'eau peuvent exister. Les hydrogrammes sont tout de même tracés pour certaines crues.

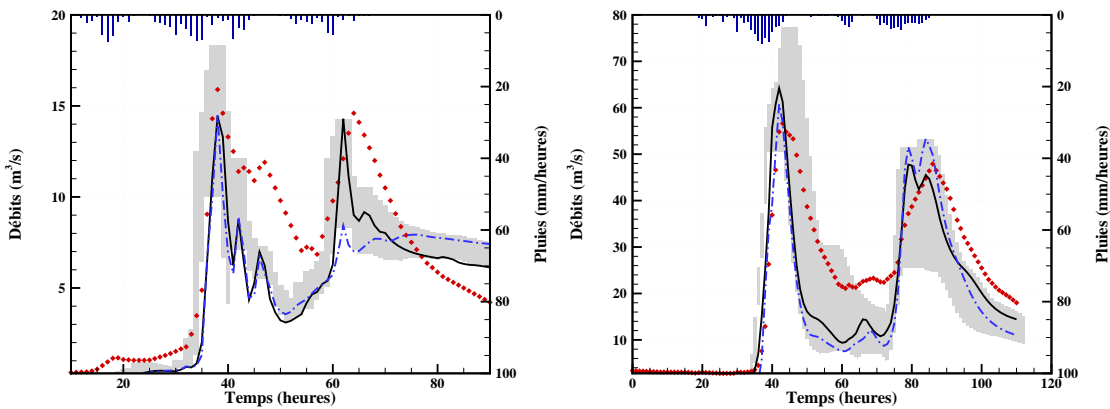


Figure 182 : 30_10_2010_70p ; 09_12_2008_60p

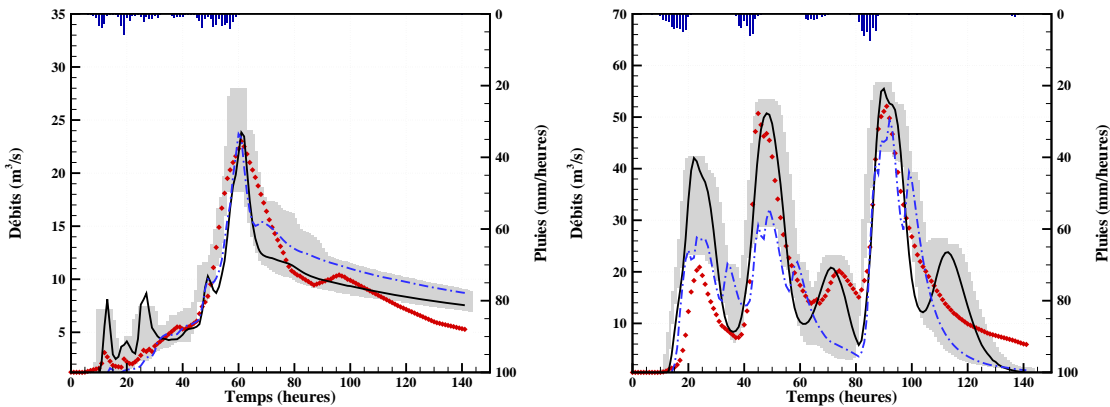


Figure 183 : 14_02_2011_70p ; 21_12_2009_70p

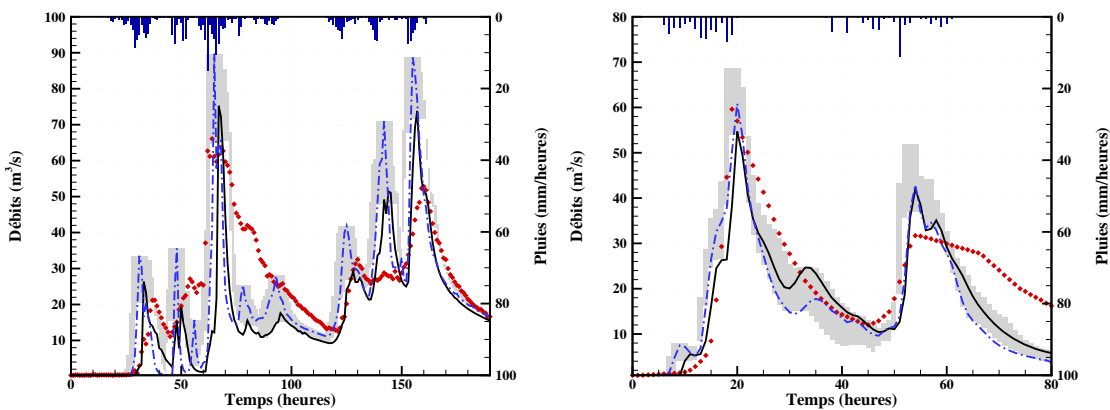


Figure 184 : 03_11_2011_70p ; 21_12_2010_70p

La Nartuby à Draguignan (196 km²)

Fonctions de répartition :

Evènement	type de pluie
02/12/2006	RA_ReanP
04/06/2011	RA_ReanP
03/11/2011	RA_ReanP+RG_interp

Tableau 31 : Evènements d'analyse sélectionnés pour le bassin de la Nartuby à Draguignan

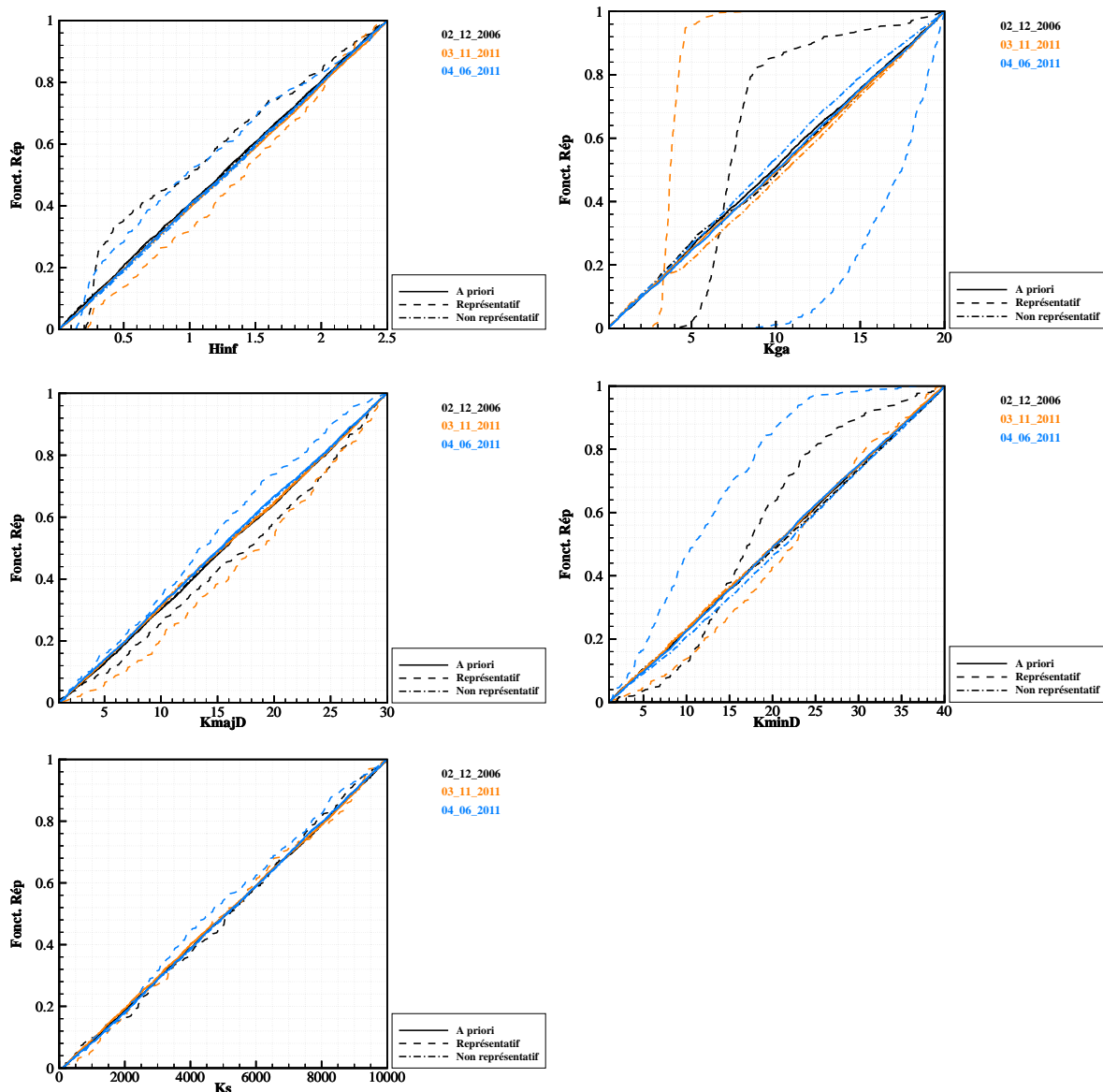


Figure 185 : FDRs pour LNP > 0.7, bassin de la Nartuby à Draguignan

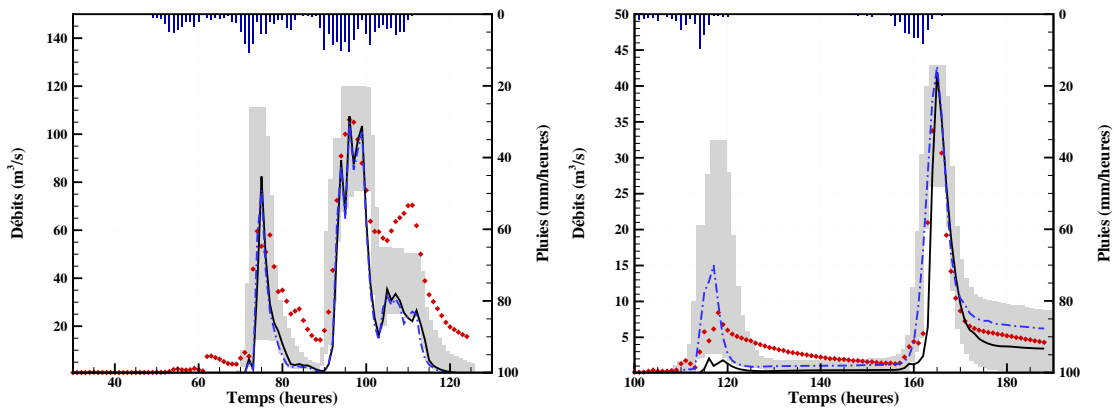


Figure 186 : 03_11_2011_70p ; 02_12_2006_70p

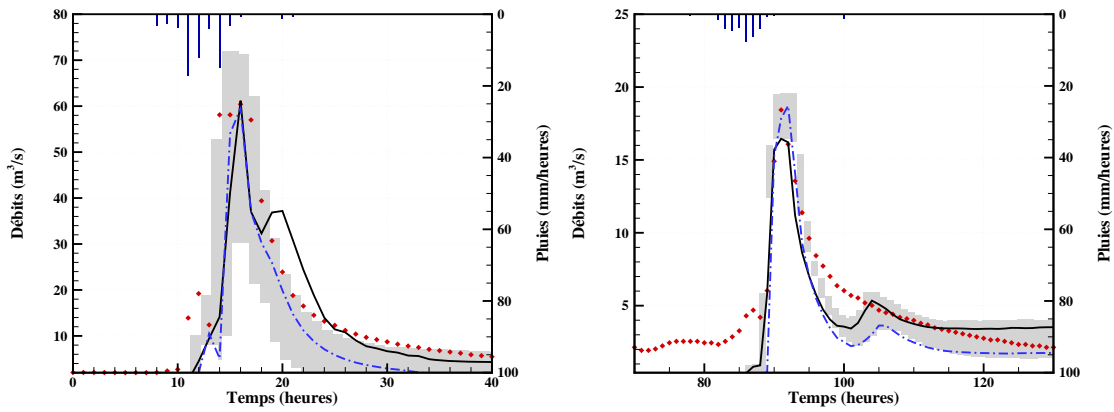


Figure 187 : 04_06_2011_70p ; 21_12_2009_70p

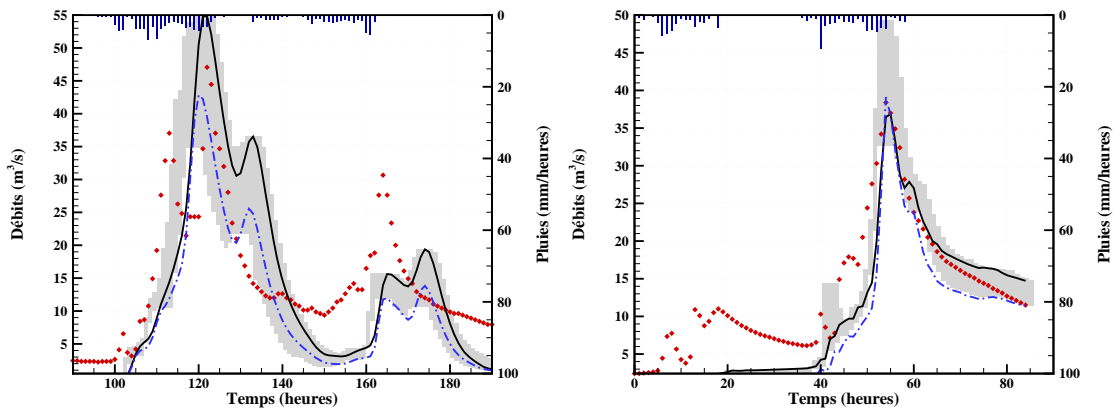


Figure 188 : 09_12_2008_70p ; 20_12_2010_70p

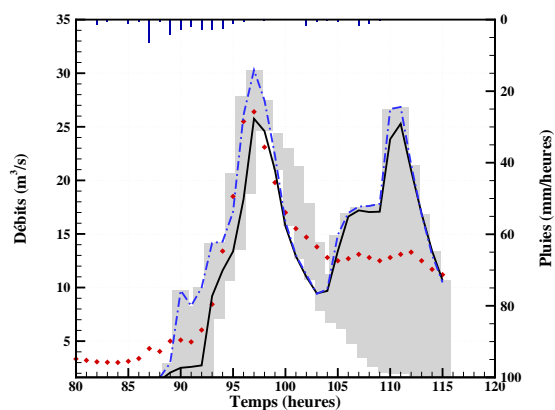


Figure 189 : 14_03_2011_70p

Calibration :

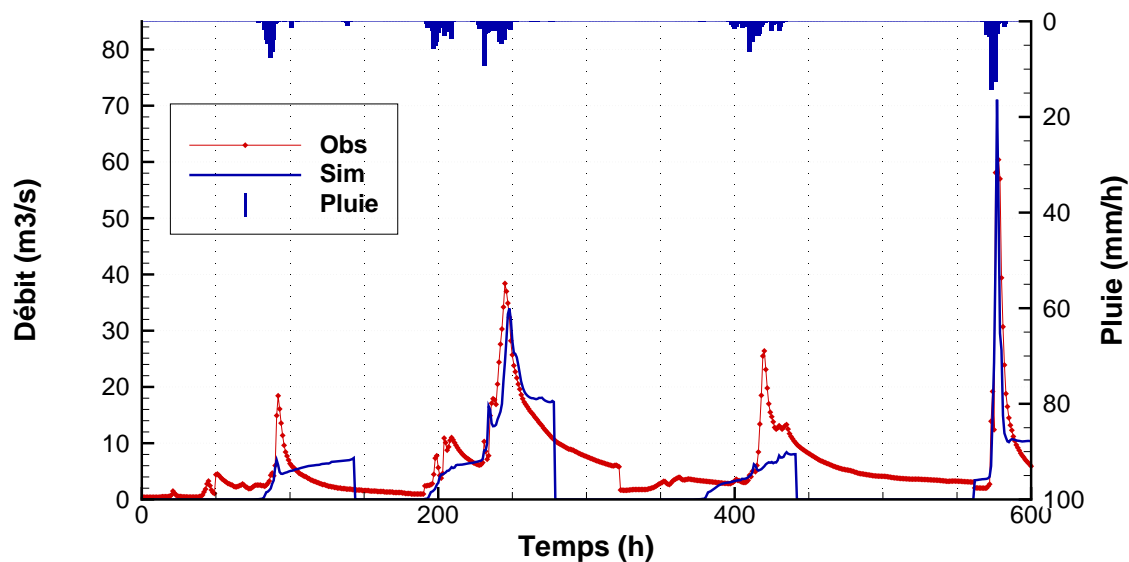


Figure 190 : calibration pour la Nartuby à Trans en Provence, 21/12/2009, 21/12/2010, 14/03/2011, 04/06/2011 (RA_ReanP)

C_Z	C_K	C_{KSS}	K_{D1}	K_{D2}
0.1	4	715	31.2	7

Tableau 32 : Jeu de paramètres calibré sur 3 évènements pour la Nartuby à Trans en Provence